



รายงานการวิจัย

ระบบตรวจวัดประสิทธิภาพแผงโซลาร์เซลล์โดยอิเล็กด้วยวิธีการ ควบคุมแสงอาทิตย์เสมือนจริง

Photovoltaic Panel Efficiency Measurements System Using
the Virtual Sunlight Control

ธีรพงษ์ นิมเพชร
สมคิด สุทธิศักดิ์
Teerapong Chimphet
Somkid Suttisak

คณะวิศวกรรมศาสตร์
มหาวิทยาลัยเทคโนโลยีราชมงคลรัตนโกสินทร์

ได้รับการสนับสนุนทุนวิจัยจากมหาวิทยาลัยเทคโนโลยีราชมงคลรัตนโกสินทร์
ประจำปี พ.ศ. 2559

ระบบตรวจวัดประสิทธิภาพแผนโพโต้โวโลหอิกด้วยวิธีการ ควบคุมແສງອາທິດຍໍເສມືອນຈິງ

ນິ້ຮພ່ານ໌ ນິມເພຫະຣ ສົມຄິດ ສູທີສັກດີ

ບຖກດຍອ

ນັບຄວາມວິຈັນນີ້ນຳເສນອຮະບນຕະຫຼາດປະຊຸມສົມບັດດ້ານໄຟຟ້າສໍາຮັບແຜ່ນໂຟໂຕ້ໂວລເທອິກທີ່ຜ່ານການໃຊ້ງານຫຼືອທີ່ມີການປະກອບໃຫ້ໃໝ່ ພ້ອມທີ່ປະເມີນຄ່າປະຊຸມສົມບັດດ້ານແສງທະຮຽນຈາຕີສ່ອງກະທົບກັບແຜ່ນໂຟໂຕ້ໂວລເທອິກ ແລ້ວການຕະຫຼາດປະຊຸມສົມບັດດ້ານແສງທີ່ມີຄຸນສົມບັດຕົກລ້າຍກັບແສງທະຮຽນຈາຕີສ່ອງກະທົບກັບແຜ່ນໂຟໂຕ້ໂວລເທອິກ ໂປຣແກຣມພ້ອມທີ່ແສດງພລັພທີ່ໄດ້ ໂດຍການທົດສອບຫາຄ່າຄວາມເຂັ້ມແສແລະຄ່າຄວາມແມ່ນຢໍາກັບຕົວຢ່າງແຜ່ນໂຟໂຕ້ໂວລເທອິກມາຕຽບງານ 3 ຕົວຢ່າງ ພລທີ່ໄດ້ແສດງໃຫ້ເຫັນວ່າຊຸດທົດສອບສາມາດສ້າງຄວາມເຂັ້ມແສສໍາຮັບໃຊ້ທົດສອບແຜ່ນໂຟໂຕ້ໂວລເທອິກອູ້ໃນຊ່ວງ 200ວັດຕໍ່ຕ່ອຕາຮາງເມຕຣ໌ເຊິ່ງເປັນໄປຕາມຄ່ານາມຕຽບງານສາກລ ແລະໃຫ້ຄ່າຄວາມປຶກພລາດໃນການຕະຫຼາດປະຊຸມສົມບັດດ້ານແຜ່ນໂຟໂຕ້ໂວລເທອິກອູ້ໃນຮະດັບຕໍ່າ ອີກທີ່ຮະບນຍັງສາມາດແສດງພລຄວາມສັມພັນທະຮ່ວງແຮງດັນໄຟຟ້າແລະກະແສໄຟຟ້າທີ່ຕະຫຼາດເພື່ອການຕະຫຼາດຄວາມຄູກຕ້ອງໃນການການໂຄງການໄດ້ເປັນຢ່າງດີ

ຄໍາສຳຄັງ: ໂຟໂຕ້ໂວລເທອິກ ຄວາມເຂັ້ມແສ ເຊັ່ນເຊົ່ວ

Photovoltaic Panel Efficiency Measurements System Using the Virtual Sunlight Control

Teerapong Chimpeth Somkid Sutthisak

Abstract

This research paper presented the photovoltaic panel efficiency measurement system that use for evaluate the electrical properties of new or used photovoltaic panels based on computer. The operation of this test kit relies on the use of simulation light that is similar to the natural light shine on photovoltaic panel. Voltage, current and temperature are measured by sensors will be sent to analyze and show result on computer. The results of light intensity measurement and the precision of testing that on three standard samples of photovoltaic panel found that the test kits can be generated light for test in the range of 200 watts per square meter, which is in accordance with the international standards, and margin of error in performance measuring is low. This system also can show the relationship between voltage and current for check the status of the measurement as well.

Keywords: Photovoltaic, Light intensity, Sensors

กิตติกรรมประกาศ

งานวิจัยฉบับนี้มีจุดมุ่งหมายเพื่อพัฒนาระบบตรวจวัดประสิทธิภาพแห่งโภต้าโว้ลเทอกิคด้วยวิธีการควบคุมแสงอาทิตย์เสมือนจริง ให้สะควรตรวจเร็วและง่ายต่อการใช้งาน ผู้วิจัยขอขอบคุณมหาวิทยาลัยเทคโนโลยีราชมงคลศรีวิชัยที่ได้สนับสนุนทุนการวิจัยครั้งนี้ และคณะผู้บริหารเจ้าหน้าที่มหาวิทยาลัยเทคโนโลยีราชมงคลศรีวิชัยที่ได้ให้คำปรึกษาและข้อมูลเพื่อใช้ในการประกอบการจัดทำวิจัย

การดำเนินการวิจัยนิอาจสำเร็จลุล่วงไปได้หากปราศจากความร่วมมือของคณาจารย์ในสาขาวิชกรรมไฟฟ้าที่ให้การสนับสนุนการใช้อุปกรณ์ด้านฮาร์ดแวร์ และซอฟต์แวร์ต่างๆ ในการพัฒนา รวมถึงสถานที่ในการดำเนินการจัดทำวิจัยในโครงการนี้สำเร็จลุล่วง

ท้ายนี้ผู้เขียนขอกราบขอบพระคุณบิค่า นารดา ที่ให้การอุปการะอบรมเลี้ยงดู ตลอดจนส่งเสริมการศึกษาและให้กำลังใจเป็นอย่างดี อีกทั้งขอขอบคุณเพื่อน ๆ ที่ให้การสนับสนุนและช่วยเหลือด้วยคีเสนอมา และขอบพระคุณเจ้าของเอกสารและงานวิจัยทุกท่าน ที่ผู้ศึกษาค้นคว้าได้นำมาอ้างอิงในการทำวิจัยนั้น กระทุ่งกระทุ่ง วิจัยฉบับนี้สำเร็จลุล่วงไปได้ด้วยดี

ธีรพงษ์ นิมเพชร
สมกิด สุทธิศักดิ์

มกราคม 2560

สารบัญ

หน้าที่

1 บทนำ	
1.1 ความสำคัญและที่มาของ โครงการวิจัย	1
1.2 วัตถุประสงค์ของ โครงการวิจัย	2
1.3 ขอบเขตของ โครงการวิจัย	2
1.4 ประโยชน์ที่คาดว่าจะได้รับ	2
1.5 แผนการดำเนินงานตลอด โครงการวิจัย	3
2 ทฤษฎีและการทบทวนวรรณกรรม	
2.1 แ肠ไฟโตอิวอลเทอิก	4
2.2 การทดสอบแ肠ไฟโตอิวอลเทอิก	7
2.3 การวัดประสิทธิภาพแ肠ไฟโตอิวอลเทอิก	9
2.4 การทบทวนวรรณกรรม	10
2.5 หลักการการทำวิจัย	12
3 วิธีการดำเนินงาน	
3.1 ชุดทดสอบแแห่งไฟโตอิวอลเทอิก	14
3.2 ตัวตรวจวัดและวงจรไฟฟ้า	16
3.3 โปรแกรมตรวจวัดและวิเคราะห์	17
4 ผลการทดลอง	
4.1 การทดสอบหาค่าความเข้มแสง	23
4.2 การทดสอบหาค่าความแม่นยำ	23
4.3 การทดสอบหาค่าประสิทธิภาพแแห่งไฟโตอิวอลเทอิก	25
5 สรุปและข้อเสนอแนะ	
5.1 ด้านชุดทดลองต้นแบบ	27
5.2 ด้านอุปกรณ์ตรวจวัด	27
5.3 ด้านตัวประมวลผลและรับส่งข้อมูล	27
5.4 โปรแกรมวิเคราะห์ผล	28
5.5 โหลดทดสอบ	28
5.6 ประสิทธิภาพในการตรวจวัด	28
5.7 เงื่อนไขตามขอบเขตงานวิจัย	29

สารบัญ

หน้าที่

บรรณานุกรม

30



สารบัญตาราง

หน้าที่

ตารางที่ 1 : ข้อมูลสำคัญสำหรับแหล่งกำเนิดแสง	15
ตารางที่ 2 : ข้อมูลแผ่นโพโต้ไวลเทอิกที่ได้จากผู้ผลิต	24
ตารางที่ 3 : ผลการทดสอบหาประสิทธิภาพ	24
ตารางที่ 4 : ผลการทดสอบหาค่าประสิทธิภาพแผ่นโพโต้ไวลเทอิก	24
ตารางที่ 5 : ผลการทดสอบหาค่าประสิทธิภาพแผ่นโพโต้ไวลเทอิก	25



สารบัญภาพ

หน้าที่

รูปภาพที่ 1 ระบบการรับซื้อไฟฟ้าจากโครงการผลิตไฟฟ้าด้วยพลังงานแสงอาทิตย์	1
รูปภาพที่ 2 ชนิดແຜງໂຟໂຕໄວລເທືອກ	4
รูปภาพที่ 3 วงศ์ສນມູລຍ໌ ເຊລ໌ໂຟໂຕໄວລເທືອກ	5
รูปภาพที่ 4 ตัวอย่าง V-I Characteristic Curve	6
รูปภาพที่ 5 ตัวอย่าง Power Characteristic Curve	7
รูปภาพที่ 6 เครื่อง Thermal Cycling Test Chamber สำหรับการทดสอบเกี่ยวกับສາພແວດລືອນຂອງແຜງໂຟໂຕໄວລເທືອກ	8
รูปภาพที่ 7 เครื่อง IV curve Sun simulator solar cell test สำหรับการทดสอบเกี่ยวกับประสิทธิภาพในการทำงาน	8
รูปภาพที่ 8 การทำงานของระบบตรวจวัดประสิทธิภาพແຜງໂຟໂຕໄວລເທືອກ	12
รูปภาพที่ 9 ขนาดແລະນິຕີຂອງໜຸດທົດສອນ	14
รูปภาพที่ 10 ຈຸດກຳເນີດແສງ	15
รูปภาพที่ 11 วงศ์ໄຟຟ້າ	16
รูปภาพที่ 12 ຈຸດເຄື່ອງນື້ອທຸລອງດ້ານໄຟຟ້າ	16
รูปภาพที่ 13 การทำงานຂອງໂປຣແກຣມตรวจວັດແລະວິໄຮຣະຫັ້ນ	18
รูปภาพที่ 14 ອົງຄົກປອບໜ້າຕາຂອງໂປຣແກຣມ	18
รูปภาพที่ 15 ໜ້າຕ່າງແສດງຄວາມສົມພັນຂໍຮ່ວ່າງແຮງດັນແລກຮະແສໄຟຟ້າ	19
รูปภาพที่ 16 การອອກແນບຄໍາສົ່ງໃນການກຳນົດຂອງໂປຣແກຣມ	20
รูปภาพที่ 17 ການທົດສອນວັດຄໍາເພື່ອຫາຄວາມເຂັ້ມແສ	22
รูปภาพที่ 18 ພັດທະນາການທົດສອນຫາຄວາມເຂັ້ມແສ	23
รูปภาพที่ 19 ແຜ່ນໂຟໂຕໄວລເທືອກສຳຫຼັບການທົດສອນ	23
รูปภาพที่ 20 ການທົດລອງຫາຄໍາປະສິຫຼັກແຜ່ນໂຟໂຕໄວລເທືອກ	25
รูปภาพที่ 21 ການແສດງຜົນການທົດລອງບົນໂປຣແກຣມຄົມພິວເຕົອງ	26

คำอธิบายสัญลักษณ์และคำจำกัดความหมายในการวิจัย

สัญลักษณ์	ความหมาย
I	กระแสไฟฟ้าจากแผ่นไฟโต้ไว้ลเทอิก
I_{sc}	กระแสไฟฟ้าขณะลั่นวงจร
I_L	กระแสไฟฟ้าที่เกิดขึ้นจากแผ่นเซลล์เมื่อได้รับแสง
I_D, I_{sh}	กระแสแต่ละส่วนของวงจรสมมูลขนาด
\exp	พึงก์ขั้นเอกซ์โพเนนเชียล
V	แรงดันไฟฟ้าขณะจ่ายโหลด
V_T	แรงดันไฟฟ้าที่เปลี่ยนกับค่าอุณหภูมิ
V_{oc}	แรงดันไฟฟ้าขณะเปิดวงจรแผ่นไฟโต้ไว้ลเทอิก
MPP	จุดทำงานของแผ่นไฟโต้ไว้ลเทอิกที่ให้กำลังไฟฟ้าสูงสุด
P	กำลังไฟฟ้า
η	ประสิทธิภาพ
E^{sw}	พลักซ์ของแสงที่ตกกระทบบนพื้นที่รับแสงของแผ่นเซลล์
A_c	พื้นที่ในการรับแสงทั้งหมดของแผ่นไฟโต้ไว้ลเทอิก

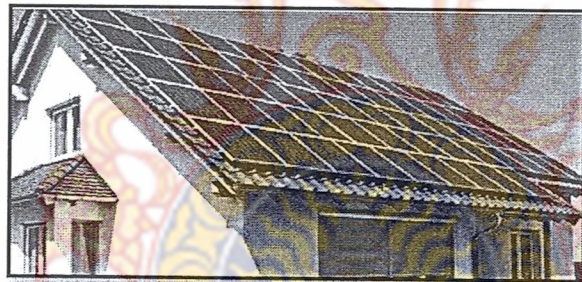


บทที่ 1

บทนำ

1.1 ความสำคัญและที่มาของโครงการวิจัย

ตามที่คณะกรรมการพัฒนาเศรษฐกิจและสังคมแห่งชาติ (ครม.) ได้เห็นชอบให้มีการรับซื้อไฟฟ้าจากโครงการผลิตไฟฟ้าพลังงานแสงอาทิตย์ที่ติดตั้งบนหลังคา (Rooftop PV System) จุดประสงค์เพื่อเพิ่มกำลังการผลิตไฟฟ้าจากแผงโซลาร์เซลล์จำนวน 200 เมกะวัตต์ โดยจำแนกเป็น ประเภทบ้านอยู่อาศัย และประเภทธุรกิจ โรงงานอย่างละ 100 เมกะวัตต์ ซึ่งสามารถเริ่มจำหน่ายไฟฟ้าเข้าสู่โครงข่ายในรูปแบบเชิงพาณิชย์ได้ตั้งแต่ปี 2556 และมีระยะเวลาในการดำเนินโครงการถึง 25 ปี [1] จากข้อมูลข้างต้นทำให้ประชาชนทั่วไปหรือนักวิจัยที่มีพื้นที่ว่างบนหลังคาของบ้านที่อยู่อาศัยหรืออาคารเริ่มมีการติดตั้งแผงโซล่าเซลล์กันมากขึ้น ตัวอย่างการติดตั้งและระบบการรับซื้อไฟฟ้าจากโครงการผลิตไฟฟ้าด้วยพลังงานแสงอาทิตย์แสดงดังรูปภาพที่ 1



รูปภาพที่ 1 ระบบการรับซื้อไฟฟ้าจากโครงการผลิตไฟฟ้าด้วยพลังงานแสงอาทิตย์ [1]

จากการศึกษาแ场โซลาร์เซลล์ที่นิยมติดตั้งกันบนหลังคาพบได้ว่า มีการนิยมใช้งานกัน 2 ชนิดคือ แผงโซลาร์เซลล์ที่ผลิตโดยทางผู้ผลิตได้ระบุอายุการใช้งานของแผงโซลาร์เซลล์ทั้งสองชนิดนี้ว่า สามารถผลิตไฟฟ้าได้นานกว่า 20 ปี และประสิทธิภาพในการทำงานจะลดลงตามการใช้งาน [2] ซึ่งองค์ประกอบหลักที่ทำให้ประสิทธิภาพของแผงโซลาร์เซลล์ไม่มีคุณภาพ ความชื้นเข้าไปทำลายโครงสร้างของแผ่นเซลล์ ความร้อนสะสมของแผ่นเซลล์มากเกินไป เป็นต้น จากปัญหาดังกล่าวแสดงให้เห็นว่าหากติดตั้งแผงโซลาร์เซลล์ไม่มีคุณภาพ ก็อาจจะส่งผลให้กำลังการผลิตในการจำหน่ายพลังงานไฟฟ้าให้กับผู้รับซื้อลดลงจากการผลิตที่คาดการไว้

โครงการวิจัยนี้จึงออกแบบและพัฒนาระบบตรวจวัดประสิทธิภาพแพงไฟโต้ไว้ลเทอิกที่ผ่านการใช้งานมาแล้วหรือมีการประกอบขึ้นใหม่เพื่อใช้งาน เพื่อใช้ในการตรวจสอบหาค่าแรงดันกระแส กำลังไฟฟ้า และประเมินค่าประสิทธิภาพ ด้วยวิธีการควบคุมตัวแปรทางธรรมชาติ เช่น อุณหภูมิ แหล่งกำเนิดแสงอาทิตย์ โดยทำการสร้างแหล่งกำเนิดแสงเสมือนจริงและตัวควบคุม เพื่อให้สะดวกต่อการทดสอบและนิความแม่นยำ

1.2 วัตถุประสงค์ของโครงการวิจัย

- เพื่อศึกษาวิธีการตรวจวัดค่าประสิทธิภาพแพงไฟโต้ไว้ลเทอิก
- เพื่อพัฒนาความรู้ด้านการควบคุมและการวัดให้เกิดประโยชน์และใช้งานได้จริง
- เพื่อช่วยลดการนำเข้าเทคโนโลยีที่มีราคาสูงจากต่างประเทศ

1.3 ขอบเขตของโครงการวิจัย

- เป็นระบบตรวจวัดประสิทธิภาพแพงไฟโต้ไว้ลเทอิกที่มีขนาดไม่เกิน 120 วัตต์ต่อแผง
- มีแหล่งกำเนิดแสงอาทิตย์เสมือนจริงที่ควบคุมด้วยคอมพิวเตอร์
- ใช้คอมพิวเตอร์เป็นตัวควบคุมและการแสดงผลการทำงาน
- สามารถแสดงค่าประสิทธิภาพ แรงดันไฟฟ้า กระแสไฟฟ้า และกำลังไฟฟ้า ของแพงไฟโต้ไว้ลเทอิกที่ใช้ในการทดสอบได้
- ค่าประสิทธิภาพจะต้องมีค่าความผิดพลาดไม่เกิน $\pm 5\%$ ของประสิทธิภาพแพงไฟโต้ไว้ลเทอิก มาตรฐาน

1.4 ประโยชน์ที่คาดว่าจะได้รับ

- ได้ระบบตรวจวัดประสิทธิภาพการทำงานของแพงไฟโต้ไว้ลเทอิกที่ใช้ในการผลิตไฟฟ้า
- ลดการนำเข้าเครื่องมือวัดและทดสอบที่มีราคาแพงจากต่างประเทศ
- สามารถพัฒนาระบบตรวจดังกล่าวให้เป็นนวัตกรรมเชิงพาณิชย์ได้

1.5 แผนการดำเนินงานตามต่อโด้ครองกรุงราชจักร

กิจกรรม	ลักษณะที่ดำเนินการ							
	ต.ด.	พ.ย.	ই.ค.	น.ค.	ก.พ.	มี.ย.	พ.ค.	ก.ค.
1.ศึกษาดูแลแบบติดตามและเฝ้าระวัง และชี้แจงตลอดเส้นทางไปมาโดยไม่ต้องเดินทาง								
2.ศึกษาและออกนโยบายตัวกำนันเดสงอาจาทพัฒนาเมืองริบ								
3.สร้างมาตรฐานคุณภาพของสถาบันเรียน ทุกด้านคุณภาพ มีและตรวจสอบวัด								
4.เขียนใบประเมินรวมคุณ วัดค่า วิเคราะห์ และแนะนำผล								
5.ทดลองตรวจวัดค่าปรับระดับน้ำภาค แรงดัน กันยะแสง กำลังไฟฟ้าจากตัวอย่างแผน ไฟฟ้าและอิเล็กทรอนิกส์								
6.ประเมินเพื่อบนผลการทดสอบกับท่านผู้ดูแลจากแผนไฟฟ้าโดยอิมมาตรฐานและปรับปรุงความแม่นยำ								
7.สรุปผลการทดสอบ								
8.ศึกษาพัฒนาความตื้นเข้มเพิ่ม								
9.เขียนแบบประเมินค่าริบ								

บทที่ 2

ทฤษฎีและการทบทวนวรรณกรรม

2.1 แผงโซล่าเซลล์ [3]

แผงโซล่าเซลล์หรือที่มีชื่อเรียกันไปหลายอย่าง เช่น เซลล์แสงอาทิตย์ เซลล์สุริยะ ก็คือ สิ่งประดิษฐ์ที่ทำการสร้างกึ่งตัวนำสำหรับสร้างกระบวนการผลิตไฟฟ้าจากการตอบสนองแสง บนวัตถุที่มีความสามารถในการเปลี่ยนพลังงานแสงให้เป็นพลังงานไฟฟ้าได้โดยตรง โดยแผงโซล่าเซลล์สามารถแบ่งแยกออกเป็น 3 ชนิดหลักๆ แสดงดังรูปภาพที่ 2



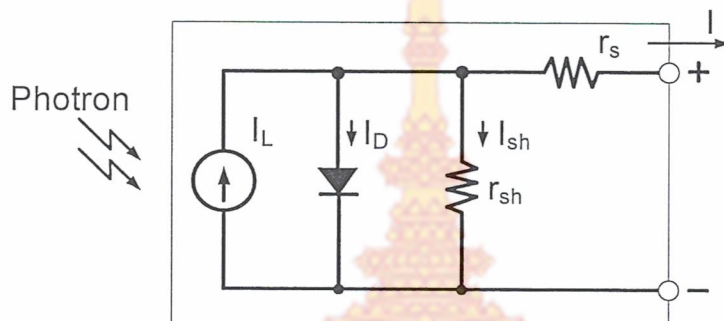
รูปภาพที่ 2 ชนิดแผงโซล่าเซลล์

จะเห็นว่าแผงโซล่าเซลล์นั่งแผงจะประกอบไปด้วยเซลล์อย่างหลายเซลล์ต่อเข้าด้วยกัน โดยเซลล์ที่ทำการซิลิโคนชนิดผลึกเดียว (Single Crystalline Silicon Solar Cell) หรือที่รู้จักกันในชื่อ Monocrystalline Silicon Solar Cell และชนิดผลึกรวม (Polycrystalline Silicon Solar Cell) ลักษณะเป็นแผ่นซิลิโคนแข็งและบาง ในส่วนของเซลล์ที่ทำการอะมอร์ฟิสซิลิโคน (Amorphous Silicon Solar Cell) ลักษณะเป็นฟิล์มบางเพียง 0.5 ไมครอน น้ำหนักเบาและประสิทธิภาพเพียง 5-10% อีกทั้งยังมีเซลล์เซลล์ที่ทำการสร้างกึ่งตัวนำอื่นๆ เช่น แกลเลียม อาร์เซไนด์, แอดเมียม เทลเลอโรต์ และคอปเปอร์ อินเดียม ไดเซเตไนด์ เป็นต้น มีทั้งชนิดผลึกเดียว (Single Crystalline) และผลึกรวม (Polycrystalline) เซลล์แสงอาทิตย์ที่ทำการแกะเลี่ยม อาร์เซไนด์จะให้ประสิทธิภาพสูงถึง 20-25%

หลักการทำงานของเซลล์โซล่าเซลล์เริ่มต้นจากการตอบสนองแสงอาทิตย์ที่แผ่นเซลล์ ส่งผลให้เกิดการสร้างพานำไฟฟ้าประழุลูบและบวกบวกในสารกึ่งตัวนำ ได้แก่ อิเล็กตรอน และ โพล ทำให้เกิดแรงดันไฟฟ้ากระแสตรงที่ขับไฟฟ้าทั้งสองของสารกึ่งตัวนำ โดยสามารถอธิบายการทำงานด้วยวงจรสมมูลย์ที่แสดงดังรูปภาพที่ 3 ซึ่งจากรูปภาพที่ 3 แสดงให้เห็นถึงองค์ประกอบในการทำงานที่สำคัญของแผ่นเซลล์ จะประกอบไปด้วย แหล่งกำเนิดกระแสที่ต่อร่วมกับไดโอดใน

ลักษณะของวงจรขนาดนน เพื่อเป็นตัวกำหนดทิศทางหรือขั้วของกระแสไฟฟ้าที่ผลิตได้ อีกทั้งแห่ง เซลล์ถูกสร้างขึ้นมาจากการสกัดกั่งตัวนำจากธรรมชาติโดยที่วัสดุดังกล่าวจะมีค่าความต้านทาน กระแสไฟฟ้าเป็นผลให้เกิดกำลังสูญเสียซึ่งจะเห็นได้จากค่าความต้านทานที่ต่ออยู่ในวงจรสมมูลย์

r_{sh} และ r_s



รูปภาพที่ 3 วงจรสมมูลย์เซลล์โฟโต้ voltaic

สามารถคำนวณหาค่ากระแส I ที่ไหลออกจากแผ่นเซลล์โฟโต้ voltaic ได้ตามกฎของ Kirchoff's current law ดังนี้

$$I = I_L - I_D - I_{sh} \quad (1)$$

โดยที่ I_L คือ ค่ากระแสไฟฟ้าที่เกิดขึ้นจากแผ่นเซลล์เมื่อได้รับแสง I_D และ I_{sh} คือค่ากระแสสูญเสียที่ขึ้นอยู่กับองค์ประกอบในแต่ละ่วนของวงจรขนาดโดยค่า I_D และ I_{sh} สามารถคำนวณได้ดังนี้

$$I_D = I_o \left[\exp\left(\frac{V + IR_s}{nV_T}\right) - 1 \right] \quad (2)$$

$$I_{sh} = \frac{(V + IR_s)}{R_{sh}} \quad (3)$$

เมื่อ η ค่าเพคเตอร์ของไอดีโอด, I_o คือค่ากระแสอิมตัว และ V_T คือค่าแรงดันที่ขึ้นกับอุณหภูมิคำนวณ ได้จาก

$$V_T = \frac{kTc}{q} \quad (4)$$

ดังนั้น สมการที่ใช้ในการคำนวณประมาณกระแสที่เกิดจากแผ่นเซลล์ไฟโต้โวลเทอิกคือ

$$I = I_L - I_o \left[\exp\left(\frac{V + IR_s}{nV_T}\right) - 1 \right] - \frac{V + IR_s}{R_{sh}} \quad (5)$$

จะเห็นจากสมการ ว่ามีตัวแปรสำคัญอยู่ 5 ตัวแปรและค่าคงที่เพื่อการคำนวณ คือ

I_L คือ กระแสไฟฟ้าที่เกิดจากแสงกระแทบแผ่นเซลล์ (A)

I_o คือ กระแสอิ่มตัวยึดอนกลับ (A)

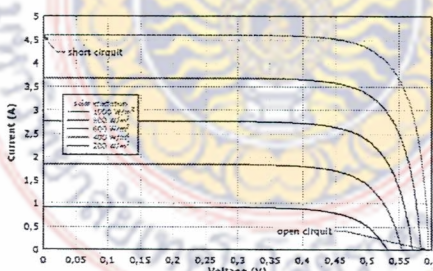
R_s คือ ค่าความต้านทานอนุกรม (Ω)

R_{sh} คือ ค่าความต้านทานขนาน (Ω)

$K = 1.381 \times 10^{-23} \text{ J/K}$

$q = 1.602 \times 10^{-19} \text{ C}$

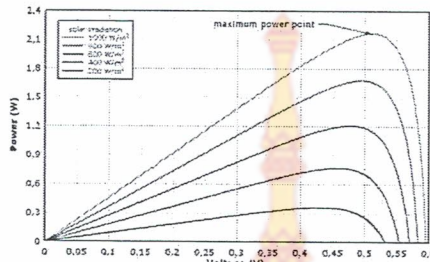
จุดทำงานของแผงไฟโต้โวลเทอิกจะขึ้นอยู่กับโหลดและค่าความเข้มของแสงที่ตกกระแทบกับแผงไฟโต้โวลเทอิก โดยสามารถแสดงจุดทำงานในลักษณะของกราฟความสัมพันธ์ระหว่างค่าแรงดันและกระแสไฟฟ้า หรือที่เรียกว่า V-I Characteristic ซึ่งจะทำให้สามารถเห็นค่าในการทำงานสูงสุด Maximum Power Point ,MPP ของแผงไฟโต้โวลเทอิกเป็นอย่างดี ด้วยวิธี ตัวอย่าง V-I Characteristic ของแผงไฟโต้โวลเทอิกแสดงดังรูปภาพที่ 4



รูปภาพที่ 4 ตัวอย่าง V-I Characteristic Curve

จากรูปที่ 4 แสดงให้ถึงลักษณะของ V-I Characteristic Curve ที่เกิดกับแผงไฟโต้โวลเทอิกซึ่งกราฟคั่งกล่าวจะแสดงให้ทราบถึง แรงดันไฟฟ้าขณะเปิดวงจร V_{oc} กระแสขณะลัดวงจร I_{sc} กระแสไฟฟ้าสูงสุด I_{MPP} และแรงดันสูงสุด V_{MPP} ที่แผงไฟโต้โวลเทอิกผลิตได้ อีกทั้งจะเห็นว่าค่าความเข้มของแสงที่ตกกระแทบแผงไฟโต้โวลเทอิกจะส่งผลโดยตรงกับค่าข้างต้น ในการบอกคุณสมบัติของแผงไฟโต้โวลเทอิกอีกประการหนึ่ง คือการบอกความสัมพันธ์ระหว่างค่ากำลังไฟฟ้าและ

แรงดันไฟฟ้าที่ผลิตได้ Power Characteristic Curve เพื่อเป็นตัวยืนยันว่าแผงโซลาร์เซลล์ไฟฟ้าสูงสุดเท่าไหร่ ตัวอย่าง Power Characteristic Curve แสดงดังรูปภาพที่ 5



รูปภาพที่ 5 ตัวอย่าง Power Characteristic Curve

จากข้อมูลข้างต้นทำให้ผู้ผลิตหรือภาคอุตสาหกรรมด้านโซลาร์เซลล์ไฟฟ้าสามารถตัดสินใจในการออกแบบและพัฒนาผลิตภัณฑ์เพื่อเป็นข้อมูลทางเทคนิคสำคัญและเป็นตัวยืนยันประสิทธิภาพในการทำงานของเซลล์โซลาร์เซลล์อีกครั้งหนึ่ง โดยผู้ผลิตจะใช้วิธีการทดสอบคือ กำหนดความเข้มแสงที่สร้างจากแหล่งกำเนิดแสงให้ต่ำลงและปรับเปลี่ยนอุณหภูมิ แล้ววัดกำลังไฟฟ้าที่ได้รับ

2.2 การทดสอบแผงโซลาร์เซลล์ [3]

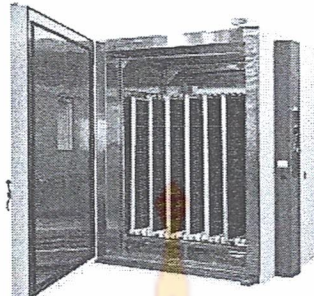
ปัจจุบันได้มีหน่วยงานสากล International Electro Committee IEC ที่เข้ามาออกมาตรฐานในการทดสอบประสิทธิภาพแผงโซลาร์เซลล์เพื่อใช้สำหรับการตรวจสอบประสิทธิภาพ ประเมินผลทางด้านความปลอดภัย อายุในการใช้งาน ซึ่งเป็นมาตรฐานชี้วัดให้ผู้สนับสนุนนำผลการทดสอบดังกล่าวไปใช้ในการตัดสินใจในการเลือกซื้อเลือกใช้งานแผงโซลาร์เซลล์โดยการกำหนดการทดสอบดังนี้

2.2.1 การทดสอบเกี่ยวกับสภาพแวดล้อม

- Thermal Cycling Test คือ การทดสอบการเปลี่ยนแปลงของอุณหภูมิที่มีผลต่อวงจรและวัสดุต่อแผงโซลาร์เซลล์

- Humidity Freeze Test คือ การทดสอบการเปลี่ยนแปลงความชื้นและความเย็นเยือกแข็ง ในกรณี นำแผงไปใช้ในประเทศที่มีอากาศหนาว

- Damp Heat Test คือ การทดสอบการเปลี่ยนของอุณหภูมิในแต่ละวัน โดยการทดสอบข้างต้นจะต้องอาศัยเครื่อง Thermal Cycling Test Chamber เป็นเครื่องมือในการทดสอบ ตัวอย่างอุปกรณ์ดังกล่าวแสดงดังรูปภาพที่ 6



รูปภาพที่ 6 เครื่อง Thermal Cycling Test Chamber สำหรับการทดสอบเกี่ยวกับสภาพแวดล้อมของแผงโซล่าเซลล์

2.2.2 การทดสอบประสิทธิภาพของแผงโซล่าเซลล์

- Performance at Standard Condition (STC) คือ การทดสอบแผงโซล่าเซลล์เมื่อได้รับแสงที่มีความเข้ม(Irradiance) เท่ากับ 1000 W/m^2 โดยกำหนดอุณหภูมิไว้ที่ 25องศาเซลเซียส

- Performance at Nominal Operating Cell Temperature (NOCT) คือ การทดสอบแผงโซล่าเซลล์ เมื่อได้รับแสงที่มีความเข้ม(Irradiance) เท่ากับ 800 W/m^2 โดยกำหนดอุณหภูมิไว้ที่อุณหภูมิห้องปกติ

- Performance at Low Irradiance คือ การทดสอบแผงโซล่าเซลล์ เมื่อได้รับแสงที่มีความเข้ม(Irradiance) เท่ากับ 200 W/m^2 โดยกำหนดอุณหภูมิไว้ที่ 25องศาเซลเซียส

โดยการทดสอบข้างต้นจะต้องอาศัยเครื่อง IV curve Sun simulator solar cell test เป็นเครื่องมือในการทดสอบ ตัวอย่างอุปกรณ์ตั้งกล่าว่แสดงดังรูปภาพที่ 7



รูปภาพที่ 7 เครื่อง IV curve Sun simulator solar cell test สำหรับการทดสอบเกี่ยวกับประสิทธิภาพในการทำงาน

2.2.3 การทดสอบสภาพการรับแสงกลางแจ้ง (Outdoor testing)

- Measurement of Nominal Operating Cell Temperature (NOCT) เป็นการทดสอบในการวัดค่าอุณหภูมิส่วนบนพื้นผิวของเซลล์
- Outdoor Exposure Test เป็นการวัดผลการทำงานของแผงเซลล์บนพื้นที่ติดตั้ง

2.2.4 การทดสอบวัสดุ Hot-spot Endurance

- Insulation test เป็นการทดสอบความเป็นฉนวนไฟฟ้า
- UV Precondition test เป็นการทดสอบการทนต่อแสงอุตสาหกรรม
- Hot-spot Endurance Test เป็นการทดสอบหาจุดที่มีอุณหภูมิสูงบนแผงเซลล์ เพื่อถูกความเสียหายต่างๆ

การทดสอบด้านอื่นๆ สำหรับแผงโซลาร์เซลล์ไฟฟ้าต้องทดสอบในปัจจัยบันยังมีแนวโน้มที่จะโคนบังคับใช้มาตรฐานด้านความเข้ากันได้ทางแม่เหล็กไฟฟ้า (EMC standards) สำหรับระบบผลิตกำลังไฟฟ้า ด้วยเซลล์ไฟฟ้าต้องทนทานต่อการเปลี่ยนแปลงของอุณหภูมิและแรงดึงดูดที่มาจากการเคลื่อนไหว เช่น การทำงานของระบบแพร์สัญญาณ โทรทัศน์ วิทยุ โทรศัพท์ ฯลฯ หรือในบางครั้งปรากฏการณ์ไฟฟ้า แลบฟ้าผ่า อาจเหนี่ยวแน่นเข้าสู่ระบบผลิตกำลังไฟฟ้า ทำให้รูปแบบของกำลังไฟฟ้าที่ผลิตออกมาน่าเกิดการเปลี่ยนแปลงไป ทั้งนี้เนื่องจากเมื่อประกอบเซลล์ไฟฟ้าต้องทนทานต่อการเปลี่ยนแปลงของอุณหภูมิ แรงดึงดูดที่มาจากการเคลื่อนไหว เช่น การทำงานของระบบแพร์สัญญาณ โทรทัศน์ วิทยุ โทรศัพท์ ฯลฯ หรือส่างคลื่นแม่เหล็กไฟฟ้านั่นเอง

2.3 การวัดประสิทธิภาพแผงโซลาร์เซลล์ [4]

การวัดประสิทธิภาพแผงโซลาร์เซลล์ต้องการทดสอบความสามารถของแผงโซลาร์เซลล์ไฟฟ้าต้องทนทานต่อการเปลี่ยนแปลงของอุณหภูมิและแรงดึงดูดที่มาจากการเคลื่อนไหว เช่น การทำงานของระบบแพร์สัญญาณ โทรทัศน์ วิทยุ โทรศัพท์ ฯลฯ หรือส่างคลื่นแม่เหล็กไฟฟ้านั่นเอง

$$\eta_{\max} = \frac{P_{\max}}{E_{sw}(\text{incident radiation flux}) \times A_c(\text{area of collector})} \quad (6)$$

ตัวอย่าง การคำนวณประสิทธิภาพของแผ่นเซลล์ไฟโตไว้โลเทอิก

แผ่นเซลล์ไฟโตไว้โลเทอิกขนาด 400W มีฟลักซ์ของแสงที่ต่อกратทบแผ่นเซลล์ 1000 W/m^2 โดยมีพื้นที่ในการรับแสงทั้งหมด 2.79 m^2 สามารถคำนวณหาค่าประสิทธิภาพได้ดังนี้

$$\eta_{\max} = \frac{400 \text{ W}}{1000 \frac{\text{W}}{\text{m}^2} \times 2.79 \text{ m}^2} = 0.143 \times 100\% = 14.3\%$$

การคำนวณข้างต้นจะเป็นค่าประสิทธิภาพสูงสุดที่แผ่นเซลล์ไฟโตไว้โลเทอิกสร้างได้ ทั้งนี้หันหน้าไปด้านหลังก็ลดลงก็ต่อเมื่อกำลังไฟฟ้าสูงสุดมีค่าลดลงจากปัจจัยภายนอกเช่น อุณหภูมิ การติดตั้งหรือการประกอบไม่เป็นตามมาตรฐาน หรือค่าฟลักซ์แสงสว่างที่ต่อกратทบแผ่นเซลล์ลดลง ฯลฯ

2.4 การทบทวนวรรณกรรม

ในปี 2010 Huang, B.J. และคณะ [4] ได้นำเสนองานวิจัยเกี่ยวกับ การวัดอุณหภูมิของแผ่นไฟโตไว้โลเทอิกด้วยเทคนิค การหาความสัมพันธ์ระหว่างแรงดันไฟฟ้าและเปิดวงจรและความเข้มของแสงอาทิตย์(solar irradiation) โดยงานวิจัยดังกล่าวได้ทำการทดลองสร้างแหล่งกำเนิดแสงอาทิตย์ เสมือนจริงที่มีค่าความเข้มของแสงอาทิตย์แบบคงที่ แล้วทำการควบคุมอุณหภูมิที่เกิดกับแผ่นไฟโตไว้โลเทอิกเพื่อดูพฤติกรรมของแรงดันไฟฟ้า ซึ่งสามารถสรุปได้ว่าอุณหภูมิที่เกิดกับแผ่นไฟโตไว้โลเทอิก สามารถคำนวณได้จากค่าแรงดันไฟฟ้าและเปิดวงจร จากการศึกษางานวิจัยดังกล่าวทำให้ทราบว่าอุณหภูมิส่งผลโดยตรงกับประสิทธิภาพของแผ่นไฟโตไว้โลเทอิก ดังนั้นการหาประสิทธิภาพของโซล่าเซลล์จึงจำเป็นต้องควบคุมอุณหภูมิให้เหมาะสม

ในปี 2012 Hadjab, M. และคณะ [4] ได้นำเสนองานวิจัยเกี่ยวกับ การออกแบบและสร้างสมการคณิตศาสตร์สำหรับแผงไฟโตไว้โลเทอิก เพื่อทำการศึกษาผลตอบสนองของแผงไฟโตไว้โลเทอิกที่มีต่ออุณหภูมิและความเข้มแสง จากการศึกษางานวิจัยดังกล่าวทำให้ทราบถึงคุณลักษณะทางไฟฟ้าที่สำคัญ เช่น คุณลักษณะระหว่างกำลังไฟฟ้าและแรงดันไฟฟ้า คุณลักษณะระหว่างอุณหภูมิที่ส่งผลต่อกำลังไฟฟ้า ฯลฯ ซึ่งความรู้ข้างต้นถือเป็นประโยชน์สูงสุดสำหรับโครงการวิจัยนี้

ในปี 2012 ดร.ไกรสร อัญชลีรพันธุ์ [3] ได้นำเสนอบทความ มาตรฐานเซลล์แสงอาทิตย์และ อุปกรณ์ประกอบ ตามสำนักงานพัฒนาวิทยาศาสตร์และเทคโนโลยีแห่งชาติ(สวทช.) โดยนำเสนอ การทดสอบประสิทธิภาพตามความเข้มแสงที่ต่อกำหนดของแพนเซลล์ไว้ดังนี้

- Performance at Standard Condition (STC) คือ การทดสอบแพนโซลาร์ไฟฟ้าโถว่อลเทอิกเมื่อได้รับ ความเข้มแสง (Irradiance) 1000 W/m^2 ที่อุณหภูมิ 25°C องศาเซลเซียส
- Performance at Nominal Operating Cell Temperature (NOCT) คือ การทดสอบแพนโซลาร์ไฟฟ้าโถว่อลเทอิก เมื่อได้รับความเข้มแสง (Irradiance) 800 W/m^2 ที่อุณหภูมิปกติ
- Performance at Low Irradiance คือ การทดสอบแพนโซลาร์ไฟฟ้าโถว่อลเทอิกเมื่อได้รับความเข้ม แสง (Irradiance) 200 W/m^2 ที่อุณหภูมิ 25°C องศาเซลเซียส

จากข้อมูลดังกล่าวจะเป็นตัวกำหนดค่ามาตรฐานของความเข้มแสง และอุณหภูมิที่ใช้ในการ ทดสอบประสิทธิภาพของแพนโซลาร์ไฟฟ้าโถว่อลเทอิกต่อไป

ในปี 2013 Solheim Hans , J. และคณะ [5] ได้นำเสนองานวิจัยเกี่ยวกับการวัดอุณหภูมิบน แพนโซลาร์ไฟฟ้าโถว่อลเทอิก โดยนำเสนอเทคนิคการวัดด้วยเทอร์โมคัปเปิลและกล้องแบบอินฟราเรด ซึ่ง งานวิจัยดังกล่าวได้ทำการทดลองจ่ายแรงดันไฟฟ้าเข้าไปยังแผ่นโซลาร์ไฟฟ้าโถว่อลเทอิกเพื่อสร้างอุณหภูมิ ภายใน จำนวนที่ทำการวัดค่าอุณหภูมิที่เกิดขึ้นผลที่ได้แสดงให้เห็นว่าเทอร์โมคัปเปิลสามารถวัด อุณหภูมิได้เป็นอย่างดี เหมาะแก่การใช้เป็นเซนเซอร์ในการป้อนกลับค่าอุณหภูมิให้กับระบบ ตรวจสอบ

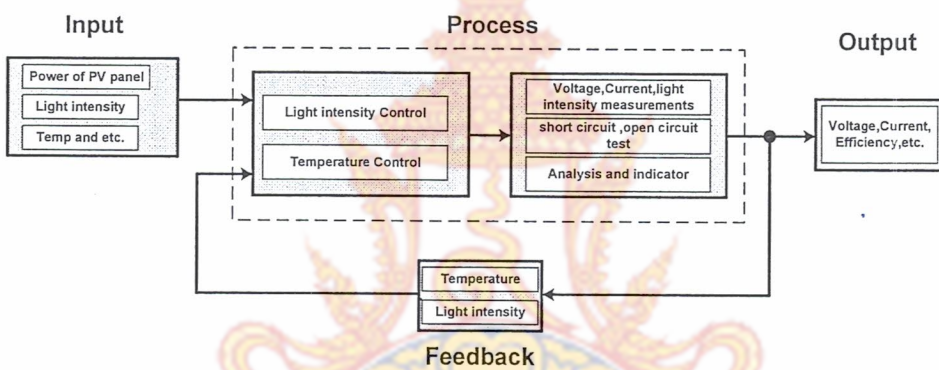
ในปี 2014 Emery, K. และคณะ[6] ได้นำเสนองานวิจัยเกี่ยวกับการหาประสิทธิภาพของ แพนโซลาร์ไฟฟ้าโถว่อลเทอิก โดยเบื้องต้นได้ทำการทดลองหาคุณลักษณะความสัมพันธ์ระหว่างกระแสและ แรงดันไฟฟ้าที่ตอบสนองกับความยาวคลื่นของแสงอาทิตย์เพื่อนำมาคำนวณหาค่ากำลังไฟฟ้าสูงสุด ซึ่งงานวิจัยดังกล่าวได้ทำการสรุปความสัมพันธ์ในการหาประสิทธิภาพไว้ว่า ประสิทธิภาพของ แพนโซลาร์ไฟฟ้าโถว่อลเทอิกจะแปรผันโดยตรงกับกำลังไฟฟ้าที่ผลิตได้และแปรผกผันกับผลคูณระหว่าง ความเข้มแสงและพื้นที่รับแสงทั้งหมด จากการศึกษางานวิจัยข้างต้นทำให้ทราบถึงแนวทางในการ ประเมินประสิทธิภาพของแพนโซลาร์ไฟฟ้าโถว่อลเทอิกได้เป็นอย่างดี

จากการทบทวนวรรณกรรมที่ผ่านมาผู้วิจัยสามารถสรุปได้ว่า งานวิจัยส่วนใหญ่ได้ นำเสนอแนวคิดและวิธีการวัดค่าพารามิเตอร์ต่างๆ ไว้อย่างชัดเจน หากแต่ยังขาดความเป็นระบบที่ สามารถตรวจวัดและแสดงผลภายใต้ตัวเองได้อย่างสมบูรณ์ จากช่องว่างการทำวิจัยดังกล่าวงานวิจัย

นี้จึงได้นำเสนอระบบตรวจประสิทธิภาพของแผงโซล่าเซลล์ที่มีความสามารถในการควบคุมตัวแปรทางธรรมชาติและแสดงผลการทำงานได้อย่างแม่นยำ เหมาะสมแก่การใช้งานในการตรวจสอบสภาพของแผงโซล่าเซลล์ที่ผ่านการใช้งานมาแล้วเป็นอย่างดี

2.5 หลักการการทำงาน

หลักการและทฤษฎีสำหรับงานวิจัยนี้จะประกอบด้วย 4 ส่วนหลักได้แก่ ส่วนกำหนดค่าตัวแปร(Input) ส่วนกระบวนการทำงาน(Process) ส่วนแสดงผล(Output) และส่วนการป้อนกลับข้อมูล(Feedback) โดยสามารถแสดงระบบการทำงานทั้งหมดด้วยรูป ภาพที่ 8



รูปภาพที่ 8 การทำงานของระบบตรวจประสิทธิภาพแผงโซล่าเซลล์

การกำหนดค่าตัวแปร(Input) จะเป็นการระบุข้อมูลเบื้องต้นในการทดสอบหาค่าประสิทธิภาพของแผงโซล่าเซลล์ เช่น พิกัดกำลัง พิกัดแรงดัน ปริมาณความเข้มแสงที่ใช้ในการทดสอบ และอุณหภูมิที่ต้องการควบคุมเป็นต้น

กระบวนการทำงาน(Process) จะเป็นส่วนทดสอบและวัดค่าตัวแปรที่ต้องการทราบ เช่น แรงดันขณะเปิดวงจร กระแสไฟขณะลัดวงจร กำลังไฟฟ้าที่ผลิต ได้ ความเข้มแสงที่ตกรอบลงบนชุดทดสอบ จากนั้นทำการวิเคราะห์ค่าที่ได้เพื่อทำการแสดงผลต่อไป

การป้อนกลับข้อมูล(Feedback) จะเป็นส่วนตรวจเช็คค่าความเข้มของแสง อุณหภูมิ ฯลฯ ที่เกิดขึ้นกับแผงโซล่าเซลล์ที่นำมาทดสอบด้วยเซนเซอร์ เพื่อทำการเปรียบเทียบค่าที่ได้กับค่าที่กำหนด(Input)

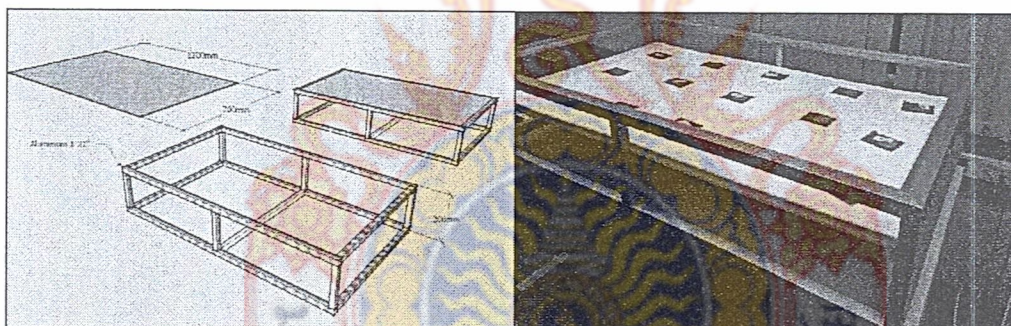
การแสดงผล(Output) จะเป็นส่วนแสดงข้อมูลที่ต้องการทราบ โดยสามารถแสดงข้อมูลในลักษณะตัวเลข กราฟ เป็นต้น

บทที่ 3

วิธีการดำเนินงาน

3.1 ชุดทดสอบแผ่นไฟโต้ไฟล์เทอิก

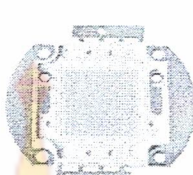
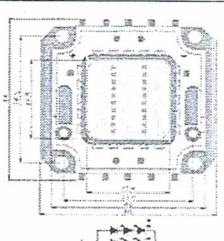
การสร้างระบบตรวจประสีทวิภาคแสงไฟโต้ไฟล์เทอิก ในขั้นต้นจำเป็นต้องทำการออกแบบโครงสร้างของชุดทดสอบ เพื่อเป็นฐานในการวางแผนอุปกรณ์ เช่น ในโครงตนไฟล์เทอิก แหล่งกำเนิดแสง แผ่นไฟโต้ไฟล์เทอิกที่ใช้ทดสอบหรือวัดค่า รวมไปถึงอุปกรณ์ไฟฟ้า อิเล็กทรอนิกส์อื่นๆ ที่เกี่ยวข้อง ซึ่งตามขอบเขตงานวิจัยได้ระบุไว้ว่า ระบบตรวจวัดจะมีความสามารถในการทดสอบแสงไฟโต้ไฟล์เทอิกที่มีขนาดไม่เกิน 120W จากข้อกำหนดดังกล่าวจึง เป็นตัวบ่งบอกขนาดของโครงสร้างของชุดทดสอบเพื่อให้สามารถรับการตรวจวัดได้ตาม เงื่อนไข ในการออกแบบผู้วิจัยจะใช้โปรแกรมสำเร็จรูปเพื่อการออกแบบขนาดและมิติต่างๆ แล้วจึง ทำการขึ้นรูปโครงสร้าง มิติและขนาดของชุดทดสอบแสดงดังรูปภาพที่ 9



รูปภาพที่ 9 ขนาดและมิติของชุดทดสอบ

จากรูปภาพที่ 9 จะแสดงให้เห็นถึงโครงสร้างหลักที่ขึ้นรูปด้วยอลูมิเนียมเพื่อสนับสนุนน้ำหนักและ สร้างความแข็งแรงในการรับน้ำหนักของแผ่นไฟโต้ไฟล์เทอิกที่นำมาทดสอบวัดค่า จากนั้นผู้วิจัยจะ ทำการออกแบบแหล่งกำเนิดแสงเพื่อทำหน้าที่ในการจำลองแสงธรรมชาติโดยอาศัยการทำงานของ หลอดแอลอีดีชนิด (LED Super Bright) ซึ่งจะทำการติดตั้งอยู่ภายใต้โครงสร้างหลัก ข้อมูลในการ เลือกใช้แหล่งกำเนิดแสงแสดงดังตารางที่ 1

ตารางที่ 1 ข้อมูลสำคัญสำหรับเหล่งกำเนิดแสง

1. High quality super LED bulbs	
2. Power: 30W	
3. Color : Warm White	
4. color temperature : 3500k	
5. Life Span Time > 50,000 hours	
6. Wave length : 400-700nm	

จากข้อมูลดังตารางที่ 1 จะแสดงให้เห็นว่าเหล่งกำเนิดแสงดังกล่าวสามารถทำให้แผ่นโพโต้ไวเลท อิอกสามารถผลิตกระแสไฟฟ้าจากการที่สร้างแสงไปต่อกリストบได้ เนื่องจากเหล่งกำเนิดแสงที่ผู้วิจัยเลือกใช้จะมีช่วงความยาวคลื่นแสง Wave length อยู่ในช่วง 400-700 นาโนเมตร ซึ่งช่วงคลื่นแสงดังกล่าวจะเป็นช่วงคลื่นแสงเดียวกับแสงธรรมชาติที่ดวงอาทิตย์สร้างขึ้นหรือเป็นช่วงคลื่นแสงที่มนุษย์สามารถมองเห็น โดยที่เหล่งกำเนิดแสงข้างต้นอาจมีค่าอุณหภูมิของแสงต่างจากแสงธรรมชาติอยู่ประมาณเกือบสองเท่า

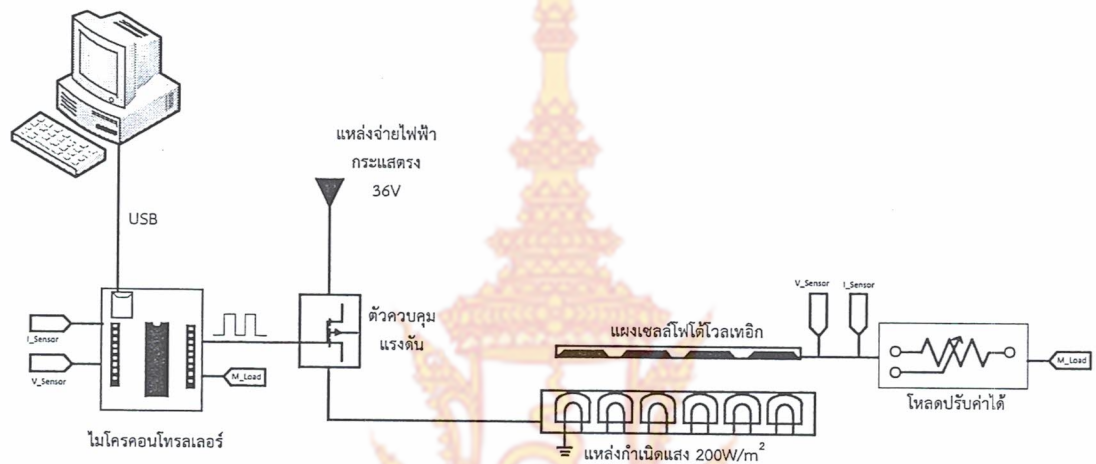
จากนั้นผู้วิจัยจึงทำการประกอบชุดกำเนิดแสงเพื่อให้มีความเข้มของแสงสว่างที่เพียงพอต่อการทดสอบแพงโพโต้ไวเลทอิกและเป็นไปตามมาตรฐานการทดสอบ โดยในการประกอบชุดกำเนิดแสงนี้ผู้วิจัยได้กำหนดค่าความเข้มของแสงสว่าง (Irradiance) ให้เป็นไปตามมาตรฐานการทดสอบแบบ Performance at Low Irradiance คือ 200 W/m^2 และกำหนดค่าอุณหภูมิไว้ที่ 25องศาเซลเซียส เนื่องจากมีข้อจำกัดบางประการหากจะทดสอบตามมาตรฐานที่สูงกว่าค่าดังกล่าว ตัวอย่างการประกอบชุดกำเนิดแสงแสดงดังรูปภาพที่ 10



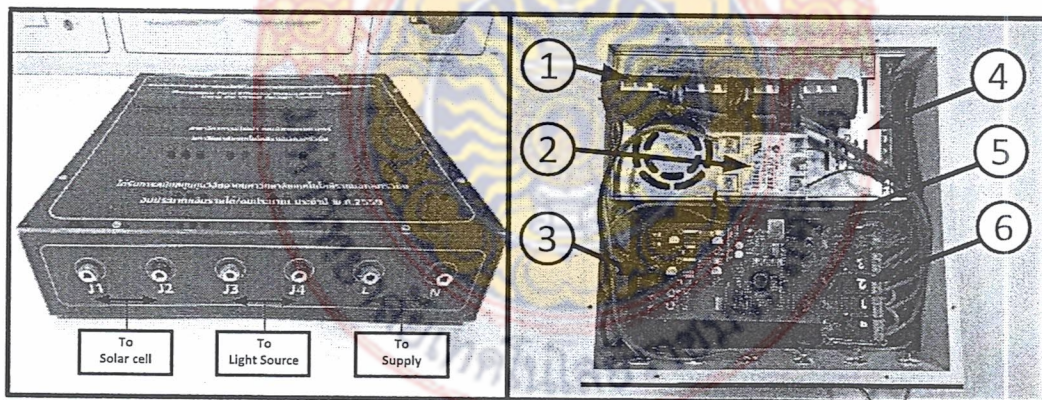
รูปภาพที่ 10 ชุดกำเนิดแสง

3.2 ตัวตรวจสอบและวัดไฟฟ้า

วงจรไฟฟ้าเป็นส่วนสำคัญที่สุดในการทดลองงานวิจัย เนื่องจาก การเชื่อมต่อการทำงานของอุปกรณ์ทั้งหมดจะเป็นการเชื่อมต่อด้วยไฟฟ้า โดยผู้วิจัยได้ออกแบบการทำงานของวงจรไฟฟ้าไว้ดังรูปที่ภาพที่ 11 และประกอบวงจรไฟฟ้าเพื่อเป็นเครื่องมือในการทดลองแสดงดังรูปที่ 12



รูปภาพที่ 11 วงจรไฟฟ้า



รูปภาพที่ 12 ชุดเครื่องมือทดลองด้านไฟฟ้า

จากรูปภาพที่ 12 สามารถอธิบายในแต่ละภาคส่วน ได้ดังนี้ ส่วนประกอบที่ 1 Resistor Variable Load เป็นส่วนที่ทำหน้าที่เป็นโหลดให้กับแผงไฟโต้วอลเทอิก ซึ่งเป็นโหลดชนิดความ

ต้านทานขนาด 500 วัตต์แบบปรับค่าได้ ทันกระแส 10A ซึ่งเมื่อต้องการเพิ่มโอลด์ให้กับແນໂໄໂຕ โວลເທອິກສາມາດทำໄດ້ໂດຍลดขนาดค่าความด้านทานให้น้อยลง เพื่อให้กระแสในวงจรມีค่าเพิ่มขึ้น

ส่วนประกอบที่ 2 Voltage Control เป็นส่วนที่ทำหน้าที่ในการควบคุมแรงดันไฟฟ้าของ แหล่งจ่ายเพื่อส่งไปแหล่งกำเนิดแสง โดยจะรับคำสั่งควบคุมจากไมโครคอนโทรลเลอร์ในรูปแบบ สัญญาณ PWM ซึ่งแรงดันควบคุมจะอยู่ในช่วง 0-36VDC รองรับกระแสไฟฟ้าสูงสุด 10A

ส่วนประกอบที่ 3 Voltage and Current Sensor เป็นอุปกรณ์ตรวจวัดค่าแรงดันไฟฟ้าและ กระแสไฟฟ้าของแผ่นไฟฟ้าโວลເທອິກ โดยอุปกรณ์ดังกล่าวจะให้สัญญาณเอาต์พุตในลักษณะ สัญญาณอนาล็อก 0-5 Vdc

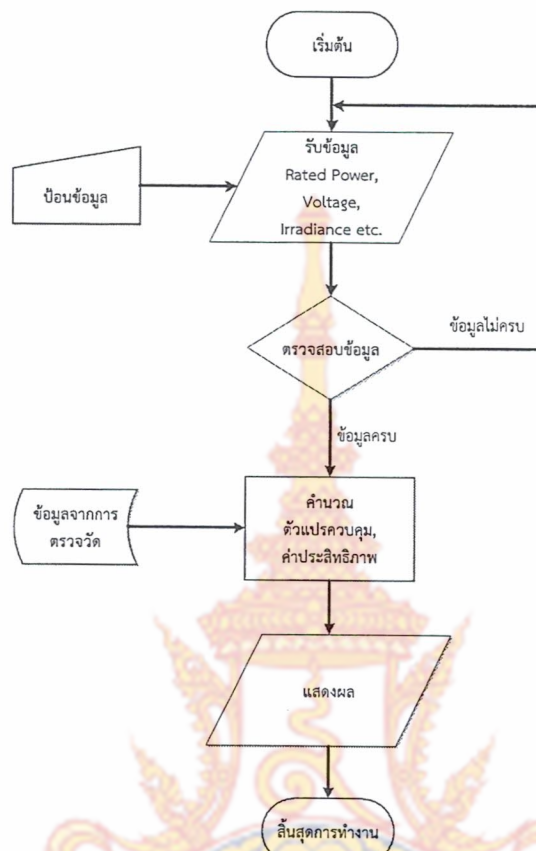
ส่วนประกอบที่ 4 DC Power Supply 36V 350w เป็นแหล่งจ่ายกำลังไฟฟ้าให้กับอุปกรณ์ ตรวจวัด ตัวควบคุมและแหล่งกำเนิดแสง

ส่วนประกอบที่ 5 ไมโครคอนโทรลเลอร์ Arduino Uno R3 เป็นตัวประมวลผลขนาด 8 บิต รองรับอินพุตแบบดิจิตอลและอนาล็อก สามารถสร้างสัญญาณ PWM และเป็นตัวประมวลผลที่ ได้รับความนิยม เนื่องจากราคาถูก ติดต่อหรือเชื่อมต่อ กับอุปกรณ์อื่นได้ง่าย โดยหน้าที่หลักของตัว ประมวลผลนี้คือตรวจวัดแรงดันไฟฟ้าและกระแสไฟฟ้าของແນไฟฟ้าโວลເທອິກ ส่งสัญญาณ แรงดันควบคุมไปยังโอลด์ปรับค่าได้ และควบคุมความเข้มแสงของแหล่งกำเนิดแสง อีกทั้งยังเป็น ตัวรับส่งข้อมูลโดยตรงกับคอมพิวเตอร์ผ่านพอร์ต USB

ส่วนประกอบที่ 6 Module Relay เป็นอุปกรณ์ตัดต่อวงจรไฟฟ้ารับคำสั่งโดยตรงจากตัว ประมวลผล ซึ่งใช้สำหรับเป็นตัวเชื่อมต่อโอลด์หรือปรับค่าความด้านทานของโอลด์เป็นแบบขึ้น ลงคั่บ

3.3 โปรแกรมตรวจวัดและวิเคราะห์

เมื่อทำการออกแบบวงจรไฟฟ้าและอุปกรณ์การตรวจวัดเสร็จสิ้นแล้ว ผู้วิจัยจะดำเนินการ ออกแบบโปรแกรมวิเคราะห์และแสดงผลค่าที่ตรวจวัดได้ โดยทำการออกแบบโปรแกรมข้างต้นบน โปรแกรม LabVIEW 2012 ซึ่งเป็นโปรแกรมของบริษัท National Instrument โดยขั้นตอนการรับ ข้อมูล วิเคราะห์ผล และแสดงผล แสดงดังแผนผังไฟล์ว่าchartการทำงานดังรูปภาพที่ 13 ขั้นตอนการ ทำงานอธิบายได้ดังต่อไปนี้ เริ่มต้นโดยการเรียกใช้โปรแกรมที่ผู้วิจัยได้ออกไว้ด้วยโปรแกรม LabVIEW ซึ่งหน้าตาโปรแกรมจะแสดงองค์ประกอบข้อมูลที่ต้องระบุของแผ่นไฟฟ้าโວลເທອິກที่ใช้ ในการทดสอบ และข้อมูลสำคัญที่เป็นค่ามาตรฐานสำหรับการทดสอบ องค์ประกอบหรือ ส่วนประกอบของโปรแกรมแสดงดังรูปภาพที่ 14



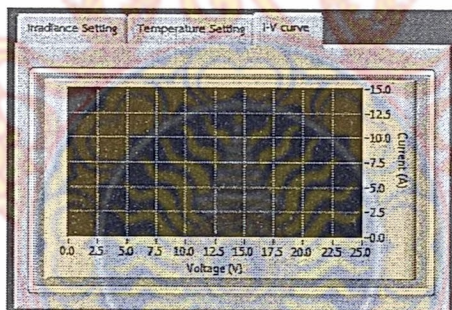
รูปภาพที่ 13 การทำงานของโปรแกรมตรวจน้ำด้วยวิเคราะห์ผล



รูปภาพที่ 14 องค์ประกอบหน้าตาของโปรแกรม

โดยข้อมูลเบื้องต้นที่ผู้ใช้งานจะต้องระบุก่อนการทดลอง ได้แก่ ค่ากำลังไฟฟ้า(วัตต์) ค่าแรงดันไฟฟ้าขณะใช้งานปกติ ค่ากระแสไฟฟ้าที่แผ่นโซลาร์เซลล์ โวลเทอิคสามารถถ่ายได้(แอมป์) และค่าความเข้มของแสงสว่าง(วัตต์ต่อตารางเมตร)ซึ่งมีค่าไม่เกิน 200 W/m^2 เมื่อทำการป้อนข้อมูลจนครบถ้วนระบบจะทำการคำนวณค่าตัวแปรควบคุมซึ่งได้แก่ ค่าแรงดันไฟฟ้าที่ป้อนให้กับชุดกำเนิดแสงสว่างเพื่อรักษาระดับค่าความเข้มของแสงสว่างให้มีค่าคงที่ตลอดการทดลอง

เมื่อสามารถคำนวณตัวแปรควบคุมได้แล้ว โปรแกรมก็จะส่งค่าตัวแปรดังกล่าวไปยังไมโครคอนโทรลเลอร์ เพื่อให้ไมโครคอนโทรลเลอร์สร้างเอาต์พุตไปควบคุมอุปกรณ์ภายนอกจนค่าความเข้มของแสงสว่างมีค่าคงที่ ไมโครคอนโทรลเลอร์จะทำการวัดค่ากลับมาเพื่อส่งต่อให้กับโปรแกรม โดยค่าที่ทำการตรวจวัดได้แก่ แรงดันไฟฟ้าและกระแสไฟฟ้าในขณะที่แผงโซลาร์เซลล์ได้รับพลังงาน จากนั้นจะนำค่าความสัมพันธ์ระหว่างกระแสไฟฟ้าและแรงดันไฟฟ้า ดังกล่าวมาพล็อตกราฟเพื่อให้ผู้ใช้งานได้เห็นค่ากำลังไฟฟ้าสูงสุดที่แผงโซลาร์เซลล์ได้หน้าต่างการแสดงความสัมพันธ์แรงดันและกระแสไฟฟ้าเมื่อแรงโซลาร์เซลล์ได้รับพลังงาน ดังภาพประกอบที่ 15

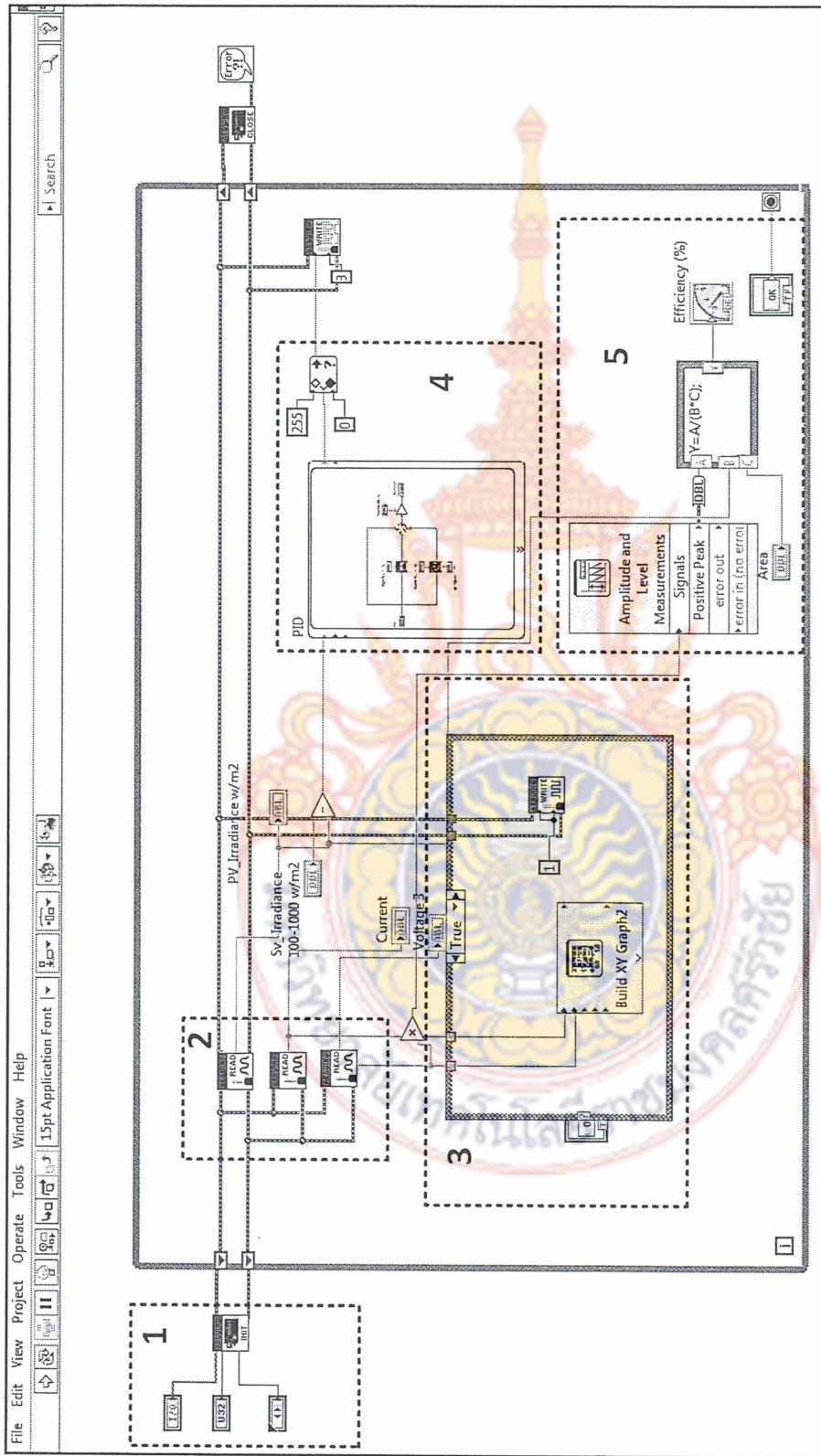


รูปภาพที่ 15 หน้าต่างแสดงความสัมพันธ์ระหว่างแรงดันและกระแสไฟฟ้า

การออกแบบคำสั่งในการทำงานบนโปรแกรม LabVIEW ด้วยภาษากราฟิก ซึ่งมีองค์ประกอบเป็นลักษณะ block diagram แสดงดังรูปภาพที่ 16 โดยสามารถอธิบายการทำงานมนต์ลักษณะที่สำคัญได้ดังนี้

ส่วนที่ 1 เป็นชุดคำสั่งกำหนดการเชื่อมต่อการสื่อสารระหว่างคอมพิวเตอร์กับตัวประมวลผล Arduino R3 ซึ่งผู้ใช้จะต้องกำหนดอัตราการส่งข้อมูล ชนิดตัวประมวลผลที่เลือกใช้ และช่องสัญญาณที่ทำการเชื่อมต่อสาย

ส่วนที่ 2 คือคำสั่งสำหรับเปิดการใช้งานอนาล็อกอินพุตเพื่อรับค่าจากเซ็นเซอร์ภายนอก โดยผู้ใช้งานจะต้องระบุงานใช้งานของตัวประมวลผลที่ต่อร่วมอยู่กับเซ็นเซอร์แรงดัน กระแส อุณหภูมิ เป็นต้น



รูปภาพที่ 16 การออกแบบมาตราสنجในการทำงานของโปรแกรม

ส่วนที่ 3 คือชุดคำสั่งในการพื้อตกราฟความสัมพันธ์ระหว่างแรงดันไฟฟ้าและกระแสไฟฟ้าของแผ่นไฟโต้ไวลเทอิกที่กำลังทำการทดสอบ โดยชุดสั่งนี้จะนำข้อมูลที่วัดเข้ามาไปแสดงค่าเป็นกราฟบนหน้าจอส่วนหน้าของโปรแกรม

ส่วนที่ 4 เป็นฟังก์ชันควบคุมความเร็วแสงของแหล่งกำเนิดแสงเสมือนจริง โดยจะอาศัยฟังก์ชันควบคุมชนิดพีไอดี PID Control โดยฟังก์ชันดังกล่าวจะรับค่าความเร็วแสงจริงมาเปรียบเทียบกับค่าความต้องการจริงจากผู้ใช้งาน ผลต่างของค่าดังกล่าวข้างต้นจะเป็นตัวกำหนดเอาต์พุตไปควบคุมอุปกรณ์จ่ายแรงดันไฟฟ้าให้กับแหล่งกำเนิดแสงในลักษณะของสัญญาณ PWM

ส่วนที่ 5 เป็นคำสั่งในการคำนวณหาค่าประสิทธิภาพของแผ่นไฟโต้ไวลเทอิก โดยหลักการคำนวณจะขึ้นอยู่กับสมการที่ 6 และทำการแสดงผลค่าประสิทธิภาพดังกล่าวบนหน้าจอส่วนหน้าของโปรแกรม



บทที่ 4

ผลการทดลอง

เมื่อผู้วิจัยได้ทำการออกแบบชุดทดลองและโปรแกรมแสดงผลเป็นที่เรียบร้อย ขั้นตอนต่อไปจะเป็นการทดสอบการทำงานเพื่อหาความแม่นยำในการประเมินประสิทธิภาพของแผ่นโพโต้ไวลเทอิก โดยผู้วิจัยจะแบ่งการทดสอบออกเป็นสองชุด ได้แก่ การทดสอบหาค่าความเข้มแสงที่ผลิตได้จากแหล่งกำเนิดแสง และการทดสอบหาค่าความแม่นยำในการคำนวณหาประสิทธิภาพจากแผ่นโพโต้ไวลเทอิกมาตรฐาน สามารถอธิบายในแต่ละขั้นตอนได้ดังนี้

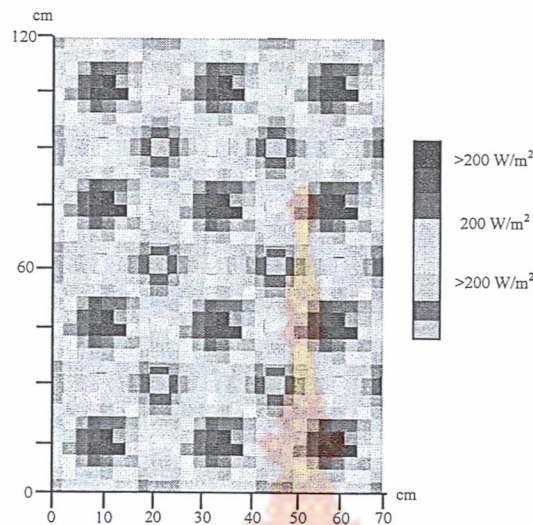
4.1 การทดสอบหาค่าความเข้มแสง

ตามมาตรฐานการทดสอบแผ่นโพโต้ไวลเทอิก ได้ระบุความเข้มของแสงที่ได้จากแหล่งกำเนิดแสงไว้หลายมาตรฐาน โดยงานวิจัยชิ้นนี้ผู้วิจัยได้ทำการเลือกมาตรฐานของความเข้มแสงสำหรับการทดสอบอยู่ในระดับ 200 W/m^2 ดังนั้นเพื่อให้เป็นไปตามมาตรฐานจึงจำเป็นต้องทำการทดสอบหาค่าความเข้มแสงจากแหล่งกำเนิดแสงที่ผู้วิจัยได้ออกแบบไว้ โดยอาศัยการวัดความเข้มแสงแบบทางอ้อมด้วยเครื่องตรวจวัด Light meter รุ่น BK PRECISION 615 ซึ่งค่าที่ได้จากการวัดจะเป็นค่าความสว่างจากนั้นนำค่าที่ได้มาคำนวณเป็นค่าความเข้มแสงต่อไป ตัวอย่างการติดตั้งเครื่องมือวัดค่าเพื่อหาความเข้มแสงดังรูปที่ 4



รูปภาพที่ 17 การทดสอบวัดค่าเพื่อหาความเข้มแสง

การทดสอบหาค่าความเข้มแสงที่เกิดจากแหล่งกำเนิดแสงบนชุดทดลองการตรวจวัดประสิทธิภาพแผ่นโพโต้ไวลเทอิก โดยการวางตำแหน่งหลอดกำเนิดแสง Led Super Bright ในลักษณะเมตริก 3×5 และเพื่อให้ครอบคลุมพื้นที่ทั้งหมดของชุดทดลอง ผลการทดสอบแสดงดังรูปที่

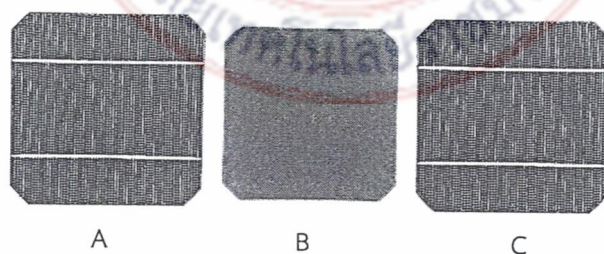


รูปภาพที่ 18 ผลการทดสอบหาค่าความเข้มแสง

จากรูปที่ 6 แสดงถึงความเข้มแสงที่สร้างได้จากแหล่งกำเนิดแสง Led Super Bright โดยจะเห็นได้ว่าจุดกึ่งกลางของตำแหน่งติดตั้งหลอดจะให้ความเข้มแสงสูงสุดซึ่งมีค่ามากกว่า 200 W/m^2 แต่หากประมาณค่าโดยรวมทั้งพื้นที่ของชุดทดลองจะพบได้ว่า ความเข้มแสงยังอยู่ในช่วงที่เป็นค่ามาตรฐานการทดสอบ

4.2 การทดสอบหาค่าความแม่นยำ

เนื่องจากการหาค่าประสิทธิภาพของแผ่นไฟโต้ไว้โลเกอิกต้องมีความแม่นยำและเที่ยงตรงในระดับหนึ่ง ดังนี้ การพัฒนาชุดทดลองเพื่อหาค่าดังกล่าวจะต้องสามารถให้ค่าความแม่นยำได้ใกล้เคียงกับค่าจริงมากที่สุดที่ เพื่อเป็นการยืนยันความถูกต้องของงานวิจัยชนิดนี้ ผู้วิจัยจึงได้ทำการทดสอบหาค่าประสิทธิภาพ โดยนำแผ่นไฟโต้ไว้โลเกอิกที่ผ่านการทดสอบจากเครื่องมือมาตรฐานมาทดสอบกับชุดทดลองที่ได้พัฒนาขึ้นเพื่อเป็นตัวเปรียบเทียบค่าความผิดพลาดที่เกิดขึ้นจากเครื่องมือ แผ่นไฟโต้ไว้โลเกอิกที่ใช้ในการทดสอบแสดงรูปที่ 19



รูปภาพที่ 19 แผ่นไฟโต้ไว้โลเกอิกสำหรับการทดสอบ

จากรูปที่ 19 เป็นแผ่นไฟโต้ไว้โลเกอิกมาตรฐานที่นำมาทดสอบการทำงานของชุดทดลองโดยรายละเอียดหรือข้อมูลสำคัญจากการทดลองของโรงงานผลิตแสดงดังตารางที่ 2

ตารางที่ 2 : ข้อมูลแผ่นโพโต้ไวโอลเทอิกที่ได้จากผู้ผลิต

ข้อมูลการทดสอบ ที่ 200W/m^2 , 25°C	กำลังไฟฟ้าสูงสุด (W_{\max})	แรงดันไฟฟ้า สูงสุด(V_{\max})	กระแสไฟฟ้า สูงสุด(I_{\max})	ประสิทธิภาพ (%Eff)
แผ่น A	0.46	0.5	0.93	10.2
แผ่น B	0.44	0.6	0.73	14.04
แผ่น C	0.45	0.5	0.9	9.7

ตารางที่ 3 : ผลการทดสอบหาประสิทธิภาพ

การทดสอบ ที่ $\approx 200\text{W/m}^2$, $25-27^\circ\text{C}$	กำลังไฟฟ้าที่ วัดได้(W_{\max})	ประสิทธิภาพจริง (%Eff)	ประสิทธิภาพที่ วัดได้(%Eff)	ความผิดพลาด (%Err)
แผ่น A	0.4	10.2	8.6	15.6
แผ่น B	0.38	14.04	12.66	9.82
แผ่น C	0.4	9.7	8.6	11.3

จากตารางที่ 3 เป็นผลการทดสอบหาประสิทธิภาพของแผ่นโพโต้ไวโอลเทอิกที่ได้จากชุดทดลองที่นักวิจัยได้พัฒนาขึ้น ซึ่งสังเกตได้ว่าค่าประสิทธิภาพที่วัดได้ทั้งสามตัวอย่างมีค่าต่ำกว่าประสิทธิภาพจริงทั้งหมด อาจเนื่องมาจากค่าความเข้มแสงของแหล่งกำเนิดแสงยังมีค่าไม่สม่ำเสมอ ดังนั้นผู้วิจัยจึงทำการปรับค่าเกนของตัวควบคุม PID เพื่อเป็นตัวคัดเชียให้ชุดทดสอบมีค่าประสิทธิภาพที่สูงขึ้นผลการทดสอบหาประสิทธิภาพของแผ่นโพโต้ไวโอลเทอิกหลังจากปรับค่าเกนแสดงดังตารางที่ 4

ตารางที่ 4 : ผลการทดสอบหาประสิทธิภาพ

การทดสอบ ที่ $\approx 200\text{W/m}^2$, $25-27^\circ\text{C}$	กำลังไฟฟ้าที่ วัดได้(W_{\max})	ประสิทธิภาพจริง (%Eff)	ประสิทธิภาพที่ วัดได้(%Eff)	ความผิดพลาด (%Err)
แผ่น A	0.44	10.2	9.8	3.92
แผ่น B	0.42	14.04	15	6.83
แผ่น C	0.42	9.7	10	3.09

จากตารางที่ 4 แสดงให้เห็นว่าเมื่อปรับค่าเกนของตัวควบคุม PID จะทำให้ชุดทดลองการทดสอบหาประสิทธิภาพของแผ่นโซลาร์เซลล์มีค่าความถูกต้องในการตรวจวัดสูงขึ้น

4.3 การทดสอบหาค่าประสิทธิภาพแผ่นโซลาร์เซลล์

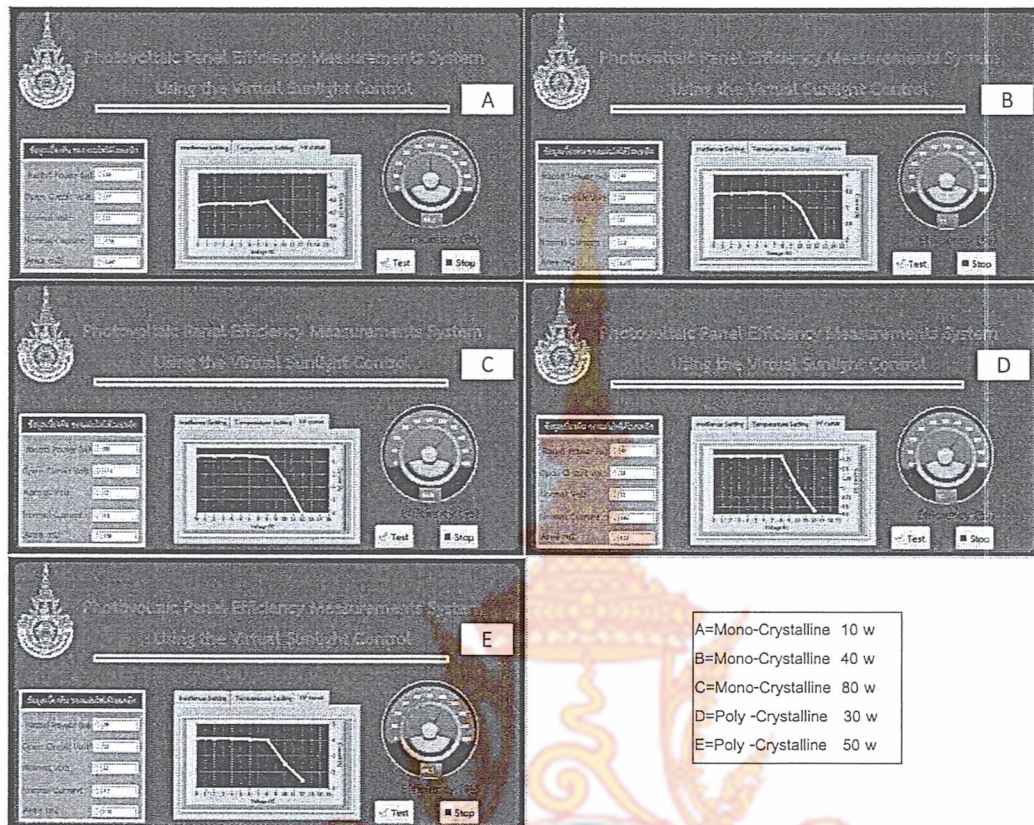
ในการทดสอบนี้จะเป็นการทดสอบหาค่าประสิทธิภาพของแผ่นโซลาร์เซลล์ที่ผ่านการใช้งานหรือแผ่นใหม่เพื่อเป็นเครื่องมือในการประเมินความสามารถในการผลิตพลังงานไฟฟ้า โดยทำการติดตั้งเครื่องมือและชุดทดสอบดังรูปที่ 20 ผลการทดสอบแสดงดังตารางที่ 5 และการแสดงผลบนโปรแกรมคอมพิวเตอร์แสดงดังรูปที่ 21



รูปภาพที่ 20 การทดลองหาค่าประสิทธิภาพแผ่นโซลาร์เซลล์

ตารางที่ 5 : ผลการทดสอบหาค่าประสิทธิภาพแผ่นโซลาร์เซลล์

ตัวอย่างที่ใช้ทดลอง	พิกัดด้านไฟฟ้า	ขนาดแผ่น	อายุการใช้งาน	กำลังไฟฟ้าสูงสุดที่รับได้	ประสิทธิภาพที่ควรเป็น	ประสิทธิภาพที่ได้
แผ่น Mono-Crystalline 10 w	17V,0.59A	330x290 x28mm	2ปี	9.5w	52.2%	49.6%
แผ่น Mono-Crystalline 40 w	18V,2.2A	550x500 x25mm	ของใหม่	41.3W	72.3%	75%
แผ่น Mono-Crystalline 80 w	17.4V,4.9A	880x668x 30mm	4-5ปี	77W	68.8%	66.3%
แผ่น Poly -Crystalline 30 w	18V,1.62A	540x420 x25mm	8-9ปี	22W	66%	48.5%
แผ่น Poly -Crystalline 50 w	18V,2.77A	670x580x 30mm	2ปี	48.9W	64.3%	62.9%



รูปภาพที่ 21 การแสดงผลการทดสอบบนโปรแกรมคอมพิวเตอร์

ผลการทดสอบข้างต้นแสดงให้เห็นว่าตัวอุปกรณ์สามารถตรวจวัดประสิทธิภาพแผ่นโซลาร์เซลล์ได้เป็นอย่างดีโดยมีค่าความผิดพลาดเนื่องจากการวัดอยู่ในระดับต่ำ เมื่อเปรียบเทียบกับตัวอย่างการทดสอบที่ยังไม่ผ่านการใช้งานจะมีค่าความผิดพลาดในการตรวจวัดอยู่ในระดับ 3.7 เปอร์เซ็นต์ ในส่วนของโปรแกรมแสดงผลก็สามารถทำให้ผู้ใช้งานได้เห็นถึงความสัมพันธ์ระหว่างแรงดันไฟฟ้าและกระแสไฟฟ้าของแผ่นโซลาร์เซลล์ที่นำมาทดลอง ได้อย่างสะดวก ซึ่งกราฟที่ได้จะเป็นการเก็บข้อมูลของแรงดันและกระแสไฟฟ้าขณะที่มีการเพิ่มโหลดให้กับแผ่นโซลาร์เซลล์จำนวนเก้าข้อมูลทดสอบ และนำข้อมูลดังกล่าวมาแสดงให้เห็นเป็นเส้นกราฟ จากนั้นนำค่าสูงสุด Maximum ของข้อมูลข้างต้นมาคำนวณเพื่อบ่งบอกค่าประสิทธิภาพอีกครั้ง

บทที่ 5

สรุปและข้อเสนอแนะ

ระบบตรวจวัดประสิทธิภาพแห่งไฟโต้โอลเทอิกด้วยวิธีการควบคุมแสงอาทิตย์สมัยนิยม เป็นงานวิจัยที่พัฒนาขึ้นมาเพื่อเป็นตัวช่วยในการหาประสิทธิภาพและประเมินศักยภาพในการทำงานของแห่งไฟโต้โอลเทอิก โดยผู้วิจัยได้ทำการพัฒนาขึ้นมาจากเทคโนโลยีภายในประเทศ เพื่อให้มีราคาที่ต่ำแต่คุณสมบัติเทียบเท่าของต่างประเทศ ซึ่งสามารถสรุปผลการวิจัยในแต่ละด้าน ดังนี้

5.1 ด้านชุดทดลองต้นแบบ

ชุดทดลองต้นแบบเป็นการนำโครงสร้างอลูминีียมประกอบเป็นรูปทรงมีคุณสมบัติที่ทนทานและสามารถรับน้ำหนักของแผ่นไฟโต้โอลเทอิกได้สูงสุดถึง 30 กิโลกรัม โดยภายในจะประกอบด้วยแหล่งกำเนิดแสงสมัยนิยมที่มีความสว่างสูงและมีช่วงความยาวคลื่นของแสงแบบธรรมชาติ ลักษณะโครงสร้างโดยรอบยังเปิดโล่งเพื่อให้สามารถระบายน้ำร้อนจาก การเปล่งแสงเพื่อยืดอายุการใช้งานของแหล่งกำเนิดแสงและอุปกรณ์อื่นๆที่ติดตั้งอยู่รอบข้าง

คำแนะนำจากผู้วิจัย ชุดทดลองควรเลือกใช้วัสดุที่ทนความร้อนได้สูงและสามารถระบายน้ำร้อนออกได้อย่างรวดเร็ว แหล่งกำเนิดแสงควรเลือกใช้หลอดที่ใช้พลังงานต่ำและให้ค่าความเข้มแสงที่สูงค่า BV มีค่าอยู่ในระดับต่ำ อีกทั้งควรเป็นระบบบิดเพื่อป้องกันปัจจัยอื่นๆที่มีผลกระทบต่อค่าการตรวจวัด เช่น อุณหภูมิสิ่งแวดล้อม โดยรอบ ความชื้น เป็นต้น

5.2 ด้านอุปกรณ์ตรวจวัด

อุปกรณ์ตรวจวัดเป็นการออกแบบและประกอบวงจรไฟฟ้าเพื่อสร้างเป็นเครื่องมือในการเก็บผลการทดสอบ โดยประกอบด้วยตัวตรวจวัดแรงดัน ตัวตรวจวัดกระแสไฟฟ้า ซึ่งสามารถตรวจวัดแรงดันไฟฟ้าจากแผ่นไฟโต้โอลเทอิกที่นำมาทดสอบอยู่ในระดับ 0-20Vdc และตรวจวัดกระแสสูงสุดอันเนื่องมาจากการจ่ายโหลดสูงสุด 12A โดยอุปกรณ์ตรวจวัดข้างต้นจะให้อาต์พุตเป็นชนิดอนาล็อก

คำแนะนำจากผู้วิจัย ตัวตรวจวัดชนิดอาต์พุตอนามาลี็อกที่มีช่วงการวัดที่กว้างจะส่งผลให้ค่าความละเอียดในการวัดมีค่าต่ำทำให้ค่าที่ได้จากการวัดขาดความแม่นยำ เพื่อเป็นการหลีกเลี่ยงปัญหาดังกล่าวควรเลือกออกแบบวงจรตรวจวัดเป็นชนิดดิจิตอล

5.3 ด้านตัวประมวลผลและรับส่งข้อมูล

ตัวประมวลผลเป็นไมโครคอนโทรลเลอร์ขนาด 8 บิต ทำหน้าที่ในการรับข้อมูลจากตัวตรวจวัดแล้วส่งค่าไปยังคอมพิวเตอร์ ซึ่งเป็นตัวประมวลผลที่มีขนาดเล็กและมีความสามารถอยู่ใน

ระดับสูง การรับส่งข้อมูลจะอาศัยช่องทางแบบ RS232 และเปลี่ยนแบบ USB เพื่อให้ง่ายต่อการติดต่อ ซึ่งถือได้ว่าการเลือกใช้ตัวประมวลผลดังกล่าวข้างต้นเกินความคุ้มค่าทั้งด้านราคา ประสิทธิภาพการทำงานและการสื่อสารกับอุปกรณ์ชนิดอื่นๆ

5.4 โปรแกรมวิเคราะห์ผล

การวิเคราะห์ผลจะอาศัยโปรแกรมที่ผู้วิจัยพัฒนาขึ้นมาจากโปรแกรมสำเร็จรูป LabVIEW 2012 ซึ่งเป็นโปรแกรมที่เกี่ยวกับการพัฒนาเครื่องมือวัด วิเคราะห์ เก็บผล และแสดงผล ด้านวิทยาศาสตร์และวิศวกรรมและเป็นอีกหนึ่งโปรแกรมที่ได้รับความนิยม โดยจุดเด่นคือใช้ภาษากราฟฟิกในการออกแบบคำสั่งต่างๆ และสามารถแสดงผลได้อย่างสวยงาม ง่ายต่อการพัฒนาให้เป็นเครื่องมือเฉพาะด้าน โดยการทำงานจะเริ่มจากการรับค่าอินพุททั้งภายในและภายนอกแล้วทำการคำนวณตามฟังก์ชันที่ผู้วิจัยออกแบบไว้ จากนั้นจึงแสดงผลเป็นลักษณะของตัวเลข กราฟ หรือແบบสีเป็นต้น

คำแนะนำจากผู้วิจัย โปรแกรมที่ผู้วิจัยพัฒนาขึ้นยังไม่สามารถพัฒนาให้เป็นไฟล์สำหรับการติดตั้งในอุปกรณ์คอมพิวเตอร์ตัวอื่นๆได้ อันเนื่องมาจากมีขีดจำกัดทางด้านเครื่องมือบางตัวที่เกี่ยวพันกับลิขสิทธิของบริษัทผู้ผลิตซอฟแวร์ดังกล่าว ดังนั้นเพื่อความสะดวกในการใช้งานควรพัฒนาโปรแกรมวิเคราะห์ให้เป็นฉบับติดตั้งต่อไป

5.5 ทดสอบสอบ

การทำให้แผ่นโพโต้ไวลเทอิกจ่ายกระแสไฟฟ้าได้เพิ่มขึ้นผู้วิจัยจะอาศัยโหลดที่เป็นชนิดค่าความด้านทานปรับค่าได้ ซึ่งมีลักษณะทางกายภาพที่ค่อนข้างใหญ่เนื่องจากต้องเป็นโหลดที่มีค่ากำลังไฟฟ้าสูงมีค่าความด้านทานต่ำ โดยการจ่ายโหลดสูงสุดให้กับแผ่นโพโต้ไวลเทอิกจะต้องปรับค่าความด้านทานให้มีค่าประมาณ 0 โอดั๊ม หรือหมายถึงลักษณะจราจรแผ่นโพโต้ไวลเทอิกนั้นเอง จึงส่งผลให้เกิดความร้อนภายในตัวโหลดสูงมาก

คำแนะนำจากผู้วิจัย ความเสือกใช้โหลดที่มีค่าตัวต้านไฟฟ้าสูงๆ อาจแทนแทนโหลดค่าความด้านทานเป็นโหลดแบบหลอดชาโลเจนก็ได้ และควรติดตั้งพัดลมระบายและความต้องการที่ต้องทำให้โหลดแบบรวดเร็วเพื่อยืดอายุการใช้งานของโหลดและแผ่นโพโต้ไวลเทอิก

5.6 ประสิทธิภาพในการตรวจวัด

จากการทดลองบทที่ 4 แสดงให้เห็นว่างานวิจัยชิ้นนี้สามารถตรวจวัดประสิทธิภาพของแผ่นโพโต้ไวลเทอิกได้ในระดับดี โดยมีปัจจัยที่สำคัญที่ส่งผลต่อค่าความผิดพลาดและจะต้องทำการควบคุมให้คงที่คือ ค่าความเบี้มแรง และอุณหภูมิ ซึ่งปัญหาหลักของงานวิจัยชิ้นนี้คืออุณหภูมิของภายในแผ่นโพโต้ไวลเทอิกที่ไม่สามารถตรวจวัดและควบคุมได้ ซึ่งผู้วิจัยทำได้เพียงควบคุมอุณหภูมิโดยรอบๆ ให้คงที่ สาเหตุข้างต้นอาจมีผลกระทบต่อประสิทธิภาพในการตรวจวัดอยู่ใน

ระดับสูงหากมีการจ่ายกระแสไฟลดเป็นเวลานาน เนื่องจากอุณหภูมิภายในแผ่นโพโต้ไว้ลเทอิกจะสูงขึ้นจนทำให้ประสิทธิภาพลดลงกว่าที่ควรจะเป็น

คำแนะนำจากผู้วิจัย ควรเพิ่มตัวตรวจสอบอุณหภูมิให้รอบคุณพื้นที่ของแผ่นโพโต้ไว้ลเทอิกเพื่อควบคุมและระบายน้ำอุณหภูมิสูงที่เกิดขึ้นไม่ให้เกินค่ากำหนด

5.7 เงื่อนไขตามขอบเขตงานวิจัย

ข้อที่ 1 เป็นระบบตรวจสอบประสิทธิภาพแผ่นโพโต้ไว้ลเทอิกที่มีขนาดไม่เกิน 120 วัตต์ต่อแผง บทสรุป โครงสร้างและขนาดของชุดทดลองมีขนาดใหญ่เพียงพอที่จะสามารถรองรับขนาดของแผ่นโพโต้ไว้ลเทอิกขนาด 120 วัตต์ได้ อีกทั้งอุปกรณ์ตรวจวัดค่านี้ไฟฟ้ายังสามารถตรวจวัดแรงดันและกระแสไฟฟ้าได้สูงพิเศษการทำงานไม่ต่ำกว่า 150 วัตต์

ข้อที่ 2 มีแหล่งกำเนิดแสงอาทิตย์ stemmed ที่ควบคุมด้วยคอมพิวเตอร์

ข้อที่ 3 ใช้คอมพิวเตอร์เป็นตัวควบคุมและการแสดงผลการทำงาน

ข้อที่ 4 สามารถแสดงค่าประสิทธิภาพ แรงดันไฟฟ้า กระแสไฟฟ้า และกำลังไฟฟ้า ของแผงโพโต้ไว้ลเทอิกที่ใช้ในการทดสอบได้

บทสรุป การปรับความเข้มแสง ผู้ใช้งานสามารถระบุค่าความเข้มแสงผ่านโปรแกรมที่ทำงานอยู่บนคอมพิวเตอร์ โดยโปรแกรมข้างต้นจะมีหน้าที่ในการควบคุมให้เป็นไปตามคำสั่งและแสดงผลการทำงาน เช่น ประสิทธิภาพ แรงดันไฟฟ้า กระแสไฟฟ้า และกำลังไฟฟ้า ผ่านหน้าจอได้

ข้อที่ 5 ค่าประสิทธิภาพจะต้องมีค่าความผิดพลาดไม่เกิน $\pm 5\%$ ของประสิทธิภาพแผ่นโพโต้ไว้ลเทอิกมาตรฐาน

บทสรุป จากตารางบันทึกผลการทดสอบที่ 4 แสดงให้เห็นว่าระบบตรวจสอบประสิทธิภาพแผ่นโพโต้ไว้ลเทอิกให้ค่าความผิดพลาดอยู่ในระดับต่ำ เมื่อเปรียบเทียบกับแผ่นโพโต้ไว้ลเทอิกมาตรฐาน

เอกสารอ้างอิง

- [1] นิติคณะกรรมการนโยบายพลังงานแห่งชาติ ครั้งที่ 2.(2556).โครงการผลิตไฟฟ้าพลังงานแสงอาทิตย์ที่ติดตั้งบนหลังคา(Rooftop PV System). สืบคันเมื่อ5 เมษายน 2558,จากเว็บไซต์: <http://www.eppo.go.th/nepc/kpc/kpc-145.html>
- [2] การไฟฟ้าฝ่ายผลิตแห่งประเทศไทย.(2555).เซลล์แสงอาทิตย์ Solar Cells.). สืบคันเมื่อ5 เมษายน 2558,จากเว็บไซต์: <http://www3.egat.co.th/re/solarcell/solarcell.htm>
- [3] ดร.ไกรสร อัญชลีวรรณ์.(2558).มาตรฐานเซลล์แสงอาทิตย์และอุปกรณ์ประกอบ,สืบคันเมื่อ5 ตุลาคม 2558,จากเว็บไซต์: www.ptec.or.th/publisher/tn222A_p059-61.pdf
- [4] B.J. Huang, P.E. Yang, Y.P. Lin , B.Y. Lin , H.J. Chen , R.C. Lai , J.S. Cheng. (2011). Solar cell junction temperature measurement of PV module. *Solar Energy*, 85, 388–392.
- [5] Moufdi H., Smail B. and Hamza A.(2012).Neural network for modeling solar panel. *INTERNATIONAL JOURNAL OF ENERGY*, 1(6),9-16.
- [6] Hans J. Solheim, Hallvard G. Fjæra, Einar A. Sorheim, and Sean Erik Foss. (2013). Measurement and simulation of hot spots in solar cells. *Energy Procedia*,38,183 -189.
- [7] M.A. Green, K. Emery, Y. Hishikawa, W. Warta, and E. Dunlop.(2014). Solar Cell Efficiency Tables (version 44). *Progress in Photovoltaics Research and Applications*,22,701
- [8] C.R. Osterwald, K.A. Emery and M. Muller.(2014).Photovoltaic Module Calibration Value Versus Optical Air Mass: The Air Mass Function. *Progress in Photovoltaics Research and Applications*,22,560
- [9] Huan-Liang Tsai, Ci-Siang Tu, and Yi-Jie Su.(2008).Development of Generalized Photovoltaic Model Using MATLAB/SIMULINK *Proceedings of the World Congress on Engineering and Computer Science 2008 WCECS* ,22 – 24
- [10] V.K.Sethi,C.S.Rajeswari, Vinay Thapar, and Navankur Beohar(2010). Evaluating effect of insolation on pv cell Output using Matlab/Simulink. *Journal of Engineering, Science and Management Education*,1, 34-38.